

Clementi di Calcolo delle variazioni

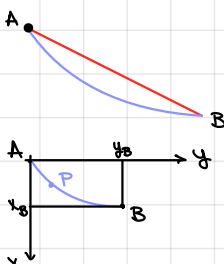
A.A. 2024-2025

SIMONE SACCANI



METODO CLASSICO ED ESEMPI

- Problema della brachistocrona:



trovare la curva che congiunge A e B per la quale un grane impiega il tempo minimo partendo da A per arrivare a B

$$\frac{1}{2} M v^2 + mgh = \text{costante}$$

$$P(t) = \begin{pmatrix} x(t) \\ y(t) \end{pmatrix} \quad y = u(x) \quad u(x(t)) = y(t)$$

$$\frac{1}{2} (\dot{x}^2(t) + \dot{y}^2(t)) - g y(t) = 0$$

$$\dot{x}^2 + \dot{y}^2 = 2g y$$

$$\text{Ora } T = \int_0^T dt = \int_0^{x_B} \frac{1}{\dot{x}} dx$$

$$\begin{cases} x(0)=0, y(0)=0 \\ \dot{x}(0)=0, \dot{y}(0)=0 \end{cases}$$

$$\dot{y}(t) = u'(x(t)) \dot{x}(t) \Rightarrow \dot{x}^2 (1 + u'(x)^2) = 2g x$$

$$\Rightarrow T = \int_0^{x_B} \sqrt{\frac{1+u'(x)^2}{2gx}} dx$$

PROBLEMA: trovare una funzione u tale che $u(0)=0, u(x_B)=y_B$

$$u \in C^1 \text{ che rende minimo } T(u) = \int_0^{x_B} \sqrt{\frac{1+u'(x)^2}{2gx}} dx$$

Più in generale, possiamo considerare

$$\mathcal{L}(u) = \int_a^b L(x, u(x), u'(x)) dx$$

funzionale classico del cdv lagrangiana

$V = \{u \in C^1([a,b]) : u(a) = y_a, u(b) = y_b\}$ è uno spazio affine

$TV = V - V = \{\varphi \in C^1([a,b]) : \varphi(a) = 0, \varphi(b) = 0\} = C_0^1([a,b])$ è uno spazio vettoriale

Data $\varphi \in C_0^1([a,b])$ e dato $\varepsilon \in \mathbb{R}$

se u è minimo di \mathcal{L} , $\mathcal{L}(u) \leq \mathcal{L}(u + \varepsilon \varphi) \quad \forall \varphi, \forall \varepsilon$

$F(\varepsilon) = \mathcal{L}(u + \varepsilon \varphi)$ quindi $F(0) \leq F(\varepsilon) \quad \forall \varepsilon \in \mathbb{R}$

Se $F'(0)$ esiste, allora $F'(0) = 0$

$$\begin{aligned} \frac{d}{d\varepsilon} F(\varepsilon) \Big|_{\varepsilon=0} &= \frac{d}{d\varepsilon} \int_a^b L(x, u(x) + \varepsilon \varphi(x), u'(x) + \varepsilon \varphi'(x)) dx = \\ &= \int_a^b \frac{d}{d\varepsilon} L(x, u(x) + \varepsilon \varphi(x), u'(x) + \varepsilon \varphi'(x)) dx = \\ &= \int_a^b \frac{\partial L}{\partial y}(x, u+\varepsilon\varphi, u'+\varepsilon\varphi') \cdot (\varphi(x) + \frac{\partial L}{\partial z}(x, u+\varepsilon\varphi, u'+\varepsilon\varphi') \cdot \varphi'(x)) \Big|_{\varepsilon=0} dx = \\ &= \int_a^b \frac{\partial L}{\partial y}(x, u, u') \cdot \varphi(x) + \frac{\partial L}{\partial z}(x, u, u') \cdot \varphi'(x) dx = 0 \quad \forall \varphi \in C_0^1([a,b]) \end{aligned}$$

Integrando per parti.

$$= \int_a^b \left[\frac{\partial L}{\partial y}(x, u, u') - \frac{d}{dx} \left(\frac{\partial L}{\partial z}(x, u, u') \right) \right] \varphi(x) dx + \left[\frac{\partial L}{\partial z}(x, u, u') \cdot \varphi(x) \right]_a^b =$$

$$= \int_a^b g(x) \varphi(x) dx \quad \text{con } g(x) = \frac{\partial L}{\partial y}(x, u, u') - \frac{d}{dx} \left(\frac{\partial L}{\partial z}(x, u, u') \right)$$

**Lema
Fondamentale
del cdv**

Sia $g \in C^0([a,b])$. Se

$$\int_a^b g(x) \varphi(x) dx = 0 \quad \forall \varphi \in C_c^\infty([a,b])$$

allora $g \equiv 0$.

NOTA $C_c^\infty(\Omega) = \{\varphi \in C^\infty : \text{spt } \varphi \subseteq \Omega \text{ compatto}\}$

$$\text{spt } \varphi = \overline{\{x \in \Omega : \varphi(x) \neq 0\}}$$

DIMOSTRAZIONE

Prendiamo $x_0 \in (a, b)$. Per assurdo sia $g(x_0) = 0$. wlog $g(x_0) > 0$

$\exists \varepsilon > 0 : g(x) > \frac{1}{2}g(x_0) > 0 \quad \forall x \in [x_0 - \varepsilon, x_0 + \varepsilon] \subseteq (a, b)$

$\exists \varphi \in C_c^\infty((a, b))$ con $\text{spt}(\varphi) \subseteq [x_0 - \varepsilon, x_0 + \varepsilon]$, $\varphi \geq 0$, $\varphi(x_0) > 0$

$$(\text{ad es. } u(x) = \begin{cases} e^{-\frac{1}{(x-x_0)^2}} & 0 < x < 1 \\ 0 & x \leq 0 \vee x \geq 1 \end{cases})$$



$$\text{Quindi } \int_a^b g(x)\varphi(x)dx = \int_{x_0-\varepsilon}^{x_0+\varepsilon} g(x)\varphi(x)dx \geq \frac{g(x_0)}{2} \int_{x_0-\varepsilon}^{x_0+\varepsilon} \varphi(x)dx > 0 \quad \square$$

Quindi, per il lemma, $g(x) = 0$, cioè

$$\frac{\partial L}{\partial y}(x, u(x), u'(x)) = \frac{d}{dx} \frac{\partial L}{\partial z}(x, u(x), u'(x))$$

(equazione di Eulero-Lagrange)

Torniamo alla brachistocrona

$$L(x, y, z) = \sqrt{\frac{1+z^2}{2gx}} \quad \frac{\partial L}{\partial y} = 0, \frac{\partial L}{\partial z} = \frac{z}{\sqrt{1+z^2}} \cdot \frac{1}{\sqrt{2gx}}$$

$$(\text{EL}) \quad 0 = \frac{d}{dx} \frac{u'(x)}{\sqrt{1+u'(x)^2}} \cdot \frac{1}{\sqrt{2gx}} \quad \text{quindi} \quad \frac{u'(x)}{\sqrt{1+u'(x)^2}} \cdot \frac{1}{\sqrt{x}} = C$$

$$\Rightarrow u' = C \sqrt{1+u'^2} \sqrt{x} \quad \Rightarrow (u')^2 = C^2 (1+(u')^2)x$$

$$\Rightarrow (u')^2 (1-C^2 x) = C^2 x \quad \Rightarrow u' = \sqrt{\frac{C^2 x}{1-C^2 x}}$$

$$\text{da cui } u = \int \frac{C\sqrt{x}}{\sqrt{1-C^2 x}} dx = \int \frac{Cx}{\sqrt{x-C^2 x^2}} dx = -\frac{1}{C} \int \frac{C^2 x}{\sqrt{x-C^2 x^2}} dx =$$

$$(\text{D} \sqrt{x-C^2 x^2} = \frac{1}{2} \frac{1-2C^2 x}{\sqrt{x-C^2 x^2}})$$

$$= \frac{1}{C} \left[\int \frac{1}{2\sqrt{x-C^2 x^2}} dx - \sqrt{x-C^2 x^2} \right]$$

$$\text{Ora } \sqrt{x-C^2 x^2} = \sqrt{\frac{1}{4C^2} - (\frac{1}{2C} - Cx)^2} = \frac{1}{2C} \sqrt{1-(1-2C^2 x)^2}, \text{ quindi}$$

$$= \int \frac{1}{\sqrt{1-(1-2C^2 x)^2}} dx - \frac{1}{C} \sqrt{x-C^2 x^2} = -\frac{1}{2C^2} \arcsin(1-2C^2 x) - \frac{1}{C} \sqrt{x-C^2 x^2} + k =$$

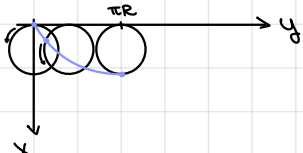
$$= -\frac{1}{2C^2} \arcsin(1-2C^2 x) - \frac{1}{C} \frac{1}{2C} \sqrt{1-(1-2C^2 x)^2} + k$$

$$u(0) = -\frac{\arcsin(1)}{2C^2} + k = 0 \quad \Rightarrow k = \frac{\pi}{4C^2}$$

$$\text{Quindi } u(x) = \frac{1}{2C^2} \left[-\arcsin(1-2C^2 x) + \frac{\pi}{2} - \sqrt{1-(1-2C^2 x)^2} \right] =$$

$$= \frac{1}{2C^2} \left[\arccos(1-2C^2 x) - \sqrt{1-(1-2C^2 x)^2} \right]$$

è una cicloide:



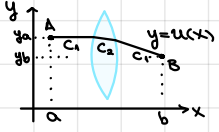
$$\begin{cases} x(\theta) = R - R \cos \theta \\ y(\theta) = R \sin \theta - R \sin \theta \end{cases}$$

$$\rightarrow \begin{cases} \theta = \arccos(1 - \frac{x}{R}) \\ y = R[\arccos(1 - \frac{x}{R}) - \sqrt{1 - (1 - \frac{x}{R})^2}] = u_R(x) \end{cases}$$

$$\text{oss } u_R(x) = R u_1(\frac{x}{R})$$



• Problema di Fermat



$$L(u) = \int_a^b g(x, u(x)) \sqrt{1+u'(x)^2} dx$$

con $g(x, y) = \frac{1}{\cos y}$, $u(a) = y_a$, $u(b) = y_b$

$$L(x, y, z) = g(x, y) \sqrt{1+z^2}$$

$$\frac{\partial L}{\partial y} = \frac{\partial g}{\partial y} \sqrt{1+z^2} \quad \frac{\partial L}{\partial z} = g(x, y) \frac{z}{\sqrt{1+z^2}}$$

$$(EL) \quad \frac{\partial L}{\partial y} = \frac{d}{dx} \frac{\partial L}{\partial z}, \text{ cioè } \frac{\partial g}{\partial y}(x, u(x)) \sqrt{1+u'(x)^2} = \frac{d}{dx} g(x, u(x)) \frac{u'(x)}{\sqrt{1+u'(x)^2}}$$

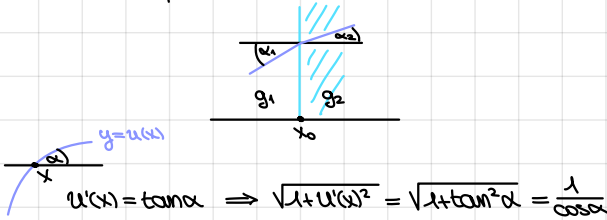
1. Dove g è costante. $0 = g(x, u(x)) \frac{d}{dx} \frac{u'(x)}{\sqrt{1+u'(x)^2}}$
 $\Rightarrow \frac{d}{dx} \frac{u'(x)}{\sqrt{1+u'(x)^2}} = 0 \Rightarrow f(u'(x)) = \frac{u'(x)}{\sqrt{1+u'(x)^2}} = \text{cost}$
 curvatura
 $f'(z) = \frac{\sqrt{1+z^2} - z^2}{\sqrt{1+z^2}(1+z^2)} > 0$
 $\Rightarrow u'(x) = M \text{ costante} \Rightarrow u(x) = mx + q$



2. Sulla superficie della lente

$$\frac{\partial g}{\partial y} \sqrt{1+u'(x)^2} = \frac{d}{dx} g \frac{u'(x)}{\sqrt{1+u'(x)^2}}$$

NOTA $g(x, y) = g(x)$



$$\text{Quindi } \frac{u'(x)}{\sqrt{1+u'(x)^2}} = \sin \alpha(x)$$

$$\Rightarrow g(x) \sin \alpha(x) = \text{cost} \Rightarrow g_1 \sin \alpha_1 = g_2 \sin \alpha_2 \Rightarrow \frac{\sin \alpha_1}{\sin \alpha_2} = \frac{g_2}{g_1} = \frac{c_1}{c_2} \quad (\text{legge di Snell})$$

Def. u è C^1 a pezzi, $u \in C_p^1([a, b])$ se

(i) $u \in C^0([a, b])$

(ii) esistono $n-1$ punti t.c. $a = x_0 < x_1 < \dots < x_n = b$

$$u \in C^1([x_k, x_{k+1}]) \quad k=0, \dots, n-1$$

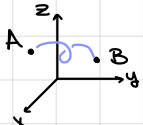


$$\text{Quindi } L(u) = \sum_{k=0}^{n-1} \int_{x_k}^{x_{k+1}} L(x, u(x), u'(x)) dx$$

• Problema di Fermat vettoriale

$$\underline{u}: [a, b] \rightarrow \mathbb{R}^3$$

$$x \mapsto \underline{u}(x)$$



$$L(\underline{u}) = \int_a^b g(\underline{u}(x)) |\underline{u}'(x)| dx$$

$$L(x, y, z) = g(\underline{u}) |\underline{u}|$$

In generale:

$$L: [a, b] \times \mathbb{R}^n \times \mathbb{R}^n \rightarrow \mathbb{R}, \quad L(u) = \int_a^b L(x, u(x), \dot{u}(x)) dx$$

Se \underline{u} è minimo, $\forall \varphi \in C_0^1([a, b], \mathbb{R}^n)$

$$0 = \frac{d}{d\varepsilon} L(u+\varepsilon\varphi)|_{\varepsilon=0} = \int_a^b \frac{d}{d\varepsilon} L(x, u+\varepsilon\varphi, \dot{u}+\varepsilon\dot{\varphi})|_{\varepsilon=0} dx =$$

$$= \int_a^b \sum_{k=1}^n \frac{\partial L}{\partial y_k}(x, u, \dot{u}) \varphi_k(x) + \sum_{k=1}^n \frac{\partial L}{\partial z_k}(x, u, \dot{u}) \dot{\varphi}_k(x) dx =$$

$$= \int_a^b [\nabla_{\underline{x}} L(x, \underline{u}, \underline{u}') \cdot \underline{\varphi}(x) + \nabla_{\underline{u}} L(x, \underline{u}, \underline{u}') \cdot \underline{\varphi}'(x)] dx =$$

$$= \int_a^b [\nabla_{\underline{x}} L(x, \underline{u}, \underline{u}') - \frac{d}{dx} \nabla_{\underline{u}} L(x, \underline{u}, \underline{u}')] \cdot \underline{\varphi}(x) dx \quad (\text{i termini di bordo si annullano})$$

Se prendo $\underline{\varphi} = \begin{pmatrix} 0 \\ \underline{\varphi}_k \end{pmatrix}$, $0 = \int_a^b [\nabla_{\underline{x}} L - \frac{d}{dx} \nabla_{\underline{u}} L] \cdot \underline{\varphi}_k dx \wedge Q_k$, quindi

$$\nabla_{\underline{x}} L(x, \underline{u}, \underline{u}') = \frac{d}{dx} \nabla_{\underline{u}} L(x, \underline{u}, \underline{u}') \quad (\text{EL vettoriale})$$

Torniamo al problema di Fermat

$$\nabla_{\underline{x}} L = \nabla g(\underline{x}) \cdot \underline{\tau} \quad \nabla_{\underline{u}} L = g(\underline{x}) \cdot \frac{\underline{\tau}}{\|\underline{\tau}\|}$$

$$\text{EL: } \nabla g(\underline{u}(x)) \cdot \underline{u}'(x) = \frac{d}{dx} g(\underline{u}(x)) \cdot \frac{\underline{u}'(x)}{\|\underline{u}'(x)\|} = (\nabla g(\underline{u}) \cdot \underline{u}'(x)) \frac{\underline{u}'(x)}{\|\underline{u}'(x)\|} + g(\underline{u}) \cdot \frac{d}{dx} \frac{\underline{u}'(x)}{\|\underline{u}'(x)\|}$$

Supponiamo \underline{u} p.l.a., cioè $\|\underline{u}'(x)\|=1$

$$\nabla g(\underline{u}) = (\nabla g(\underline{u}) \cdot \underline{\tau}) \underline{\tau} + g(\underline{u}) \underline{u}''(x)$$

Quindi ottieniamo

$$\nabla g(\underline{u}) = (\nabla g(\underline{u}) \cdot \underline{\tau}) \underline{\tau} + K g(\underline{u}) \underline{u}$$

Faccendo il prodotto scalare con \underline{v} :

$$\frac{\partial g}{\partial v} = K g(\underline{u})$$



$$\begin{aligned} \underline{u}'(x) &= \underline{\tau} \\ \underline{u}'' \perp \underline{u}' & \\ \underline{u}''(x) &= K(x) \underline{v}(x) \end{aligned}$$

Equazione di Beltrami

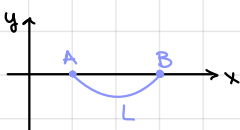
$$L(x, y, z) = L(y, z) \quad \mathcal{L}(u) = \int_a^b L(u(x), u'(x)) dx$$

$$(\text{EL}) \quad \frac{\partial L}{\partial y}(u(x), u'(x)) = \frac{d}{dx} \frac{\partial L}{\partial z}(u(x), u'(x)) \quad \text{equazione diff. del 2° ordine, autonoma}$$

Moltiplicando per u' .

$$\begin{aligned} u'(x) \cdot \frac{\partial L}{\partial y}(u(x), u'(x)) &= u'(x) \frac{d}{dx} \frac{\partial L}{\partial z}(u(x), u'(x)) \\ \text{ma } \frac{d}{dx} L(u, u') &= \frac{\partial L}{\partial y} u' + \frac{\partial L}{\partial z} u'' = u' \frac{d}{dx} \frac{\partial L}{\partial z}(u, u') + u'' \frac{\partial L}{\partial z}(u, u') = \frac{d}{dx} (u' \frac{\partial L}{\partial z}) \\ \Rightarrow \frac{d}{dx} (L - u' \frac{\partial L}{\partial z}) &= 0 \Rightarrow L - u' \frac{\partial L}{\partial z} = \text{cost} \quad (\text{equazione di Beltrami}) \end{aligned}$$

Problema della catenaria



da catena minimizza l'energia potenziale

$$J(u) = \int_a^b u(x) \sqrt{1+u'(x)^2} dx$$

$$u: [a, b] \rightarrow \mathbb{R}, u(a)=0, u(b)=0$$

Questo è un problema vincolato:

$$f(u) = \int_a^b \sqrt{1+u'(x)^2} dx$$

$$\begin{cases} J(u) \min \\ g(u) = L \\ u(a) = u(b) = 0 \end{cases}$$

Utilizziamo i moltiplicatori di Lagrange " $\nabla J = \lambda \nabla g$ "

$$L(u) = J(u) - \lambda g(u) = \int_a^b (u(x) - \lambda) \sqrt{1+u'(x)^2} dx$$

$$\text{cioè } L(x, y, z) = (y - \lambda) \sqrt{1+z^2}$$

Possiamo usare l'eq.ne di Beltrami

$$\frac{\partial L}{\partial z} = (y - \lambda) \frac{z}{\sqrt{1+z^2}}$$

$$(u - \lambda) \sqrt{1+u'(x)^2} - u' \cdot (u - \lambda) \frac{u'}{\sqrt{1+u'^2}} = C$$

Quindi:

$$(u - \lambda)(1 + (u')^2 - (u')^2) = c \sqrt{1 + (u')^2}$$

$$(u - \lambda)^2 = c^2(1 + (u')^2)$$

$$u^2 = \frac{(u - \lambda)^2 - c^2}{c^2} = \frac{(u - \lambda)^2}{c^2} - 1 \Rightarrow u' = \pm \sqrt{\frac{(u - \lambda)^2}{c^2} - 1}$$

$$\Rightarrow \frac{u'}{\sqrt{\frac{(u - \lambda)^2}{c^2} - 1}} = \pm 1 \Rightarrow \int_a^b \frac{du}{\sqrt{\frac{(u - \lambda)^2}{c^2} - 1}} = \pm (x - x_0)$$

NOTA $\operatorname{sech}^{-1} = \sinh^{-1}$

$$D \operatorname{sech}^{-1} = \frac{1}{\cosh(\operatorname{sech}^{-1} s)} = \frac{1}{\sqrt{1+s^2}} \quad D \operatorname{sech}^{-1} = \frac{1}{\sinh(\operatorname{sech}^{-1} s)} = \frac{1}{\sqrt{s^2-1}}$$

$$\Rightarrow c \cdot \operatorname{sech}^{-1}\left(\frac{u - \lambda}{c}\right) = \pm(x - x_0) \Rightarrow \operatorname{sech}^{-1}\left(\frac{u - \lambda}{c}\right) = \pm \frac{x - x_0}{c} \geq 0 \text{ e } \frac{u - \lambda}{c} \geq 1$$

$$\Rightarrow \frac{u - \lambda}{c} = \cosh\left(\frac{x - x_0}{c}\right) \Rightarrow u = c \cosh\left(\frac{x - x_0}{c}\right) + \lambda$$

$$\text{Ora } u(a) = u(b) = 0, \quad x_0 = \frac{a+b}{2}$$

$$\Rightarrow 0 = c \cosh\left(\frac{a - x_0}{c}\right) + \lambda \Rightarrow \lambda = -c \cosh\left(\frac{a - x_0}{c}\right)$$

c si ricava da $y(u) = L$

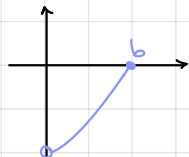


Estremi liberi

$$L(u) = \int_a^b L(x, u(x), u'(x)) dx$$

$$L(u) \approx \min$$

$$u(b) = y_b \text{ ma } u(a) \text{ è libero}$$



$$0 = \frac{d}{d\varepsilon} L(u + \varepsilon\varphi)|_{\varepsilon=0} = \int_a^b \frac{\partial L}{\partial y} \cdot \varphi + \frac{\partial L}{\partial z} \cdot \varphi' = \int_a^b \left(\frac{\partial L}{\partial y} - \frac{d}{dx} \frac{\partial L}{\partial z} \right) \varphi(x) dx + \left(\frac{\partial L}{\partial z} \varphi \right)_a^b$$

Se scelgo φ con anche $\varphi(a) = 0$, ottengo (EL): $\frac{\partial L}{\partial y} = \frac{d}{dx} \frac{\partial L}{\partial z}$

⇒ il primo addendo è sempre nullo

$$\Rightarrow \frac{\partial L}{\partial z}(x, u(x), u'(x)) \varphi(a) = 0. \text{ Se scelgo } \varphi \text{ con } \varphi(a) \neq 0, \text{ allora } \frac{\partial L}{\partial z}(a, u(a), u'(a)) = 0$$

Se avessi fissato $u(a)$ e lasciato libero $u(b)$, avrei $\frac{\partial L}{\partial z}(b, u(b), u'(b)) = 0$

Se avessi lasciato liberi entrambi, otterrei $\frac{\partial L}{\partial z}(a, u(a), u'(a)) = 0, \frac{\partial L}{\partial z}(b, u(b), u'(b)) = 0$

Nell'esempio della catenaria, EL è sempre la stessa.

$$\text{In più ottengo } \frac{\partial L}{\partial z}(a, u(a), u'(a)) = 0, \text{ cioè } (u(a) - \lambda) \frac{u'(a)}{\sqrt{1 + (u'(a))^2}} = 0$$

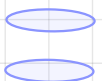
$$0 \quad u(a) = 0 \quad u'(a) = 0$$

↪ impossibile, infatti $\cosh s \neq 0$ (se $c \neq 0$)

• Problema di Plateau

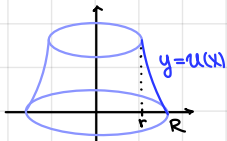


Fissata una curva nello spazio, trovare la superficie di area minima che "borda" la curva



(superficie minime)

Supponiamo che la superficie sia una superficie di rotazione attorno all'asse comune dei due cerchi



$$u: [r, R] \rightarrow \mathbb{R}$$

$$u(R) = 0, u(r) = h$$

$$\mathcal{L}(u) = 2\pi \int_a^b \sqrt{1+u'(x)^2} dx$$

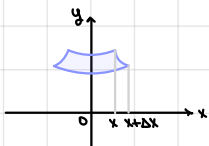
$$L(x, y, z) = \sqrt{1+z^2}$$

$$(EL) 0 = \frac{d}{dx} \left(x \frac{u'(x)}{\sqrt{1+u'(x)^2}} \right)$$

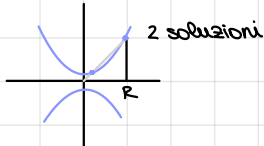
(è la curvatura media della superficie)

$$\Rightarrow \frac{xu'}{\sqrt{1+u'^2}} = C \Rightarrow x^2(u')^2 = C^2(1+u'^2) \Rightarrow (u')^2 = \frac{C^2}{x^2-C^2}$$

$$\Rightarrow u' = \frac{1}{\sqrt{\frac{C^2}{x^2}-1}} \Rightarrow u(x) = C \operatorname{sech}(\frac{x}{C}) + k$$



Quindi il grafico di u è una catenaria, perciò la superficie è una catenoida



• Meccanica Lagrangiana

$$\mathcal{L}(u) = \int L(x, u, u') \quad L = E - V, \quad u(x) \text{ posizione al tempo } x, \quad u'(x) \text{ velocità}$$

$$E = \frac{1}{2} m u'(x)^2$$

$$F(y) = -\nabla V(y) \quad \text{forza nel punto } y$$

$$L(x, y, z) = \frac{1}{2} m z^2 - V(y)$$

$$\nabla_y L = -\nabla V \quad \nabla_z L = m z$$

$$(EL) -\nabla V(u(x)) = \frac{d}{dx} m u'(x) = m u''(x) \quad \text{cioè } F = m a$$

Conservazione dell'energia:

$$-\nabla V(u(x)) = m u''(x), \quad \text{moltiplicando ambo i membri per } u'(x), \quad \text{troviamo}$$

$$-\frac{d}{dx} V(u(x)) = \frac{d}{dx} \frac{1}{2} m (u'(x))^2 \Rightarrow \frac{1}{2} m (u'(x))^2 + V(u(x)) = \text{cost}$$

Equazioni di ordine superiore

$$L(u) = \int_a^b L(x, u(x), u'(x), u''(x)) dx \quad L = L(x, y, z, w)$$

$$u \in C^2([a, b]) \quad u(a) = y_a, u(b) = y_b, u'(a) = z_a, u'(b) = z_b$$

Affinché $u + \varepsilon \varphi$ abbia le stesse condizioni al bordo:

$$\varphi \in C^2 \text{ con } \varphi(a) = \varphi(b) = 0, \varphi'(a) = \varphi'(b) = 0$$

$$\begin{aligned} \frac{d}{d\varepsilon} L(u + \varepsilon \varphi)|_{\varepsilon=0} &= \int_a^b \frac{d}{d\varepsilon} L(x, u + \varepsilon \varphi, u' + \varepsilon \varphi', u'' + \varepsilon \varphi'')|_{\varepsilon=0} dx = \\ &= \int_a^b \left(\frac{\partial L}{\partial y}(x, u, u', u'') \cdot \varphi(x) + \frac{\partial L}{\partial z}(x, u, u', u'') \cdot \varphi'(x) + \frac{\partial L}{\partial w}(x, u, u', u'') \cdot \varphi''(x) \right) dx = \xrightarrow{\text{per parti}} \\ &= \int_a^b \left(\frac{\partial L}{\partial y} \cdot \varphi - \frac{d}{dx} \frac{\partial L}{\partial z} \cdot \varphi' - \frac{d}{dx} \frac{\partial L}{\partial w} \cdot \varphi'' \right) + \left[\frac{\partial L}{\partial z} \cdot \varphi' \right]_a^b + \left[\frac{\partial L}{\partial w} \cdot \varphi'' \right]_a^b = \\ &= \int_a^b \left(\frac{\partial L}{\partial y} - \frac{d}{dx} \frac{\partial L}{\partial z} + \frac{d^2}{dx^2} \frac{\partial L}{\partial w} \right) \varphi dx + \left[\frac{d}{dx} \frac{\partial L}{\partial w} \varphi'' \right]_a^b = 0 \quad \forall \varphi \in C_c^\infty([a, b]) \subseteq C^2([a, b]) \end{aligned}$$

Poiché il lemma fondamentale del CdV:

$$(EL) \quad \frac{\partial L}{\partial y} - \frac{d}{dx} \frac{\partial L}{\partial z} + \frac{d^2}{dx^2} \frac{\partial L}{\partial w} = 0$$

Spline

$$u: [0, 1] \rightarrow \mathbb{R}$$

$$u(0) = 0, u(1) = 1, u'(0) = 0, u'(1) = 0$$

$$L(u) = \int_0^1 (u''(x))^2 dx \rightarrow \text{minimo}$$

$$L(x, y, z, w) = \frac{1}{2} w^2 \quad \frac{\partial L}{\partial w} = w$$

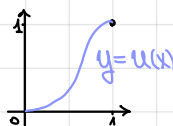
$$(EL) \quad \frac{d^2}{dx^2} \frac{\partial L}{\partial w} = 0, \text{ cioè } \frac{d^2}{dx^2} u''(x) = u'''(x) = 0$$

$$\Rightarrow u(x) = ax^3 + bx^2 + cx + d$$

$$u'(x) = 3ax^2 + 2bx + c$$

$$u(0) = 0 \rightarrow d = 0, u'(0) = 0 \rightarrow c = 0, u(1) = a + b = 1, u'(1) = 3a + 2b = 0 \rightarrow a = -2, b = 3$$

$$\Rightarrow u(x) = -2x^3 + 3x^2$$

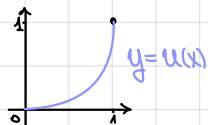


Estremi liberi

$$u: [0, 1] \rightarrow \mathbb{R}$$

$$u(0) = 0, u(1) = 1, u'(0) = 0$$

$$L(u) = \int_0^1 (u''(x))^2 dx \rightarrow \text{minimo}$$



In generale

$$L(u) = \int_a^b L(x, u(x), u'(x), u''(x)) dx$$

$$0 = \frac{d}{d\varepsilon} L(u + \varepsilon \varphi)|_{\varepsilon=0} =$$

$$= \int_a^b \left(\frac{\partial L}{\partial y} - \frac{d}{dx} \frac{\partial L}{\partial z} + \frac{d^2}{dx^2} \frac{\partial L}{\partial w} \right) \varphi dx + \left[\frac{\partial L}{\partial z} \varphi' \right]_{x=b}$$

Potrei comunque scegliere φ' con $\varphi'(b) = 0$
per ottenere la stessa equazione di prima.

$$(EL) \quad \frac{\partial L}{\partial y} - \frac{d}{dx} \frac{\partial L}{\partial z} + \frac{d^2}{dx^2} \frac{\partial L}{\partial w} = 0$$

Se poi scelgo Q con $Q'(b) \neq 0$, ottengo $\frac{\partial L}{\partial w}|_{x=b} = 0$

Tornando all'esempio, $L = L(w) = \frac{1}{2}w^2$, $\frac{\partial L}{\partial w} = w$

la condizione aggiuntiva è $U''(1) = 0$

$$U(x) = ax^3 + bx^2 + cx + d \quad U'(x) = 3ax^2 + 2bx + c, \quad U''(x) = 6ax + 2b$$

$$U(0) = 0 \rightarrow d = 0, \quad U'(0) = 0 \rightarrow c = 0, \quad U(1) = a + b = 1, \quad U''(1) = 6a + 2b = 0 \rightarrow a = -\frac{1}{2}, b = \frac{3}{2}$$

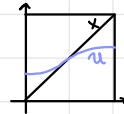
$$U(x) = -\frac{1}{2}x^4 + \frac{3}{2}x^3$$

Se lascio libero anche $U(0)$, noto che $U(x) = x$ soddisfa le condizioni e $L(U) = 0$, quindi $U(x) = x$ è certamente un minimo

È anche facile dimostrare che se $\exists x_0 : U''(x_0) \neq 0 \Rightarrow L(U) > 0$

$\Rightarrow U(x) = cx + d$ e solo $c=1, d=0$ soddisfano le condizioni al bordo

EX $L(u) = \int_0^1 (u'(x))^2 + |u(x) - x|^2 dx$, $u \in C^1([0,1])$, $u(0), u(1)$ liberi
 $L(x,y,z) = z^2 + (y-x)^2 \quad \frac{\partial L}{\partial z} = 2z, \quad \frac{\partial L}{\partial y} = 2(y-x)$



Problemi in più variabili

$$u: \Omega \subseteq \mathbb{R}^n \rightarrow \mathbb{R} \quad x \in \Omega$$

$$x \mapsto u(x)$$

$$L(u) = \int_{\Omega} L(x, u(x), \nabla u(x)) dx \quad u \in C^1(\bar{\Omega}), \quad u(x) = g(x) \text{ per } x \in \partial\Omega \text{ con } g \text{ data}$$

$$L = L(x, y, z), \quad L: \Omega \times \mathbb{R} \times \mathbb{R}^n \rightarrow \mathbb{R}$$

Facciamo il solito procedimento per trovare punti stazionari, con $Q \in C^1(\bar{\Omega})$

$$\begin{aligned} 0 = \frac{d}{d\varepsilon} L(u + \varepsilon Q)|_{\varepsilon=0} &= \int_{\Omega} \frac{d}{d\varepsilon} L(x, u + \varepsilon Q, \nabla u + \varepsilon \nabla Q)|_{\varepsilon=0} dx = \\ &= \int_{\Omega} \frac{\partial L}{\partial y}(x, u, \nabla u) \cdot Q(x) + \nabla_z L(x, u, \nabla u) \cdot \nabla Q dx = \quad \text{teorema della divergenza} \\ &= \int_{\Omega} \left(\frac{\partial L}{\partial y} - \operatorname{div}_x (\nabla_z L) \right) Q dx + \underbrace{\int_{\partial\Omega} Q \nabla_z L \cdot \nu_2 ds}_{=0} \end{aligned}$$

Per il lemma fondamentale del CdV (in più dimensioni):

$$(EL) \quad \frac{\partial L}{\partial y}(x, u(x), \nabla u(x)) = \operatorname{div}_x (\nabla_z L(x, u(x), \nabla u(x)))$$

• Integrale di Dirichlet

$$L(u) = \frac{1}{2} \int_{\Omega} |\nabla u|^2 + \int_{\Omega} f(x) u(x) dx$$

$u \in C^1(\bar{\Omega})$, $f \in C^0(\Omega)$ data

$$\left\{ \begin{array}{l} L(u) \rightarrow \min \\ u(x) = g(x) \text{ su } \partial\Omega \text{ con } g \in C^0(\partial\Omega) \text{ data} \end{array} \right.$$

$$L(x, y, z) = \frac{1}{2} |z|^2 + f(x) \cdot y$$

$$\frac{\partial L}{\partial y} = f, \quad \nabla_z L = z$$

$$(EL) \quad f(x) = \operatorname{div}_x \nabla u(x) = \Delta u(x)$$

$$\text{Equazione di Poisson: } \left\{ \begin{array}{l} \Delta u = f \quad \text{su } \Omega \\ u = g \quad \text{su } \partial\Omega \end{array} \right. \quad (\text{condizione di Dirichlet})$$

Senza le condizioni al bordo, ottieniamo (EL), cioè $\Delta u = f$,
e $\frac{\partial u}{\partial \nu} = 0$ (segue da $\int_{\Omega} \nabla u \cdot \nu \cdot \varphi = 0 \forall \varphi$) (condizione di Neumann)

- Superficie minime: problema di Plateau

$$L(u) = \int_{\Omega} \sqrt{1 + |\nabla u(x)|^2} dx$$

(area della superficie del grafico di u)

$$\begin{cases} L(u) \rightarrow \min \\ u(x) = g(x) \text{ su } \partial\Omega \end{cases}$$

$$L(x, y, z) = \sqrt{1+z^2} \quad \frac{\partial L}{\partial z} = \frac{z}{\sqrt{1+z^2}}$$

$$(EL) \quad 0 = \operatorname{div} \nabla_z L = \operatorname{div} \frac{\nabla u}{\sqrt{1+|\nabla u|^2}} \quad (\text{traccia della } 2^{\text{a}} \text{ forma fondamentale})$$

$$2H u(x) = \operatorname{div} \frac{\nabla u}{\sqrt{1+|\nabla u|^2}}$$

curvatura media

I minimi, se esistono e sono sufficientemente regolari,
deve avere curvatura media nulla (superficie minime)

Metodo classico del CdV

- (1) Risolvere (EL)
- (2) Dimostrare che la soluzione è un minimo
(convessità, ...)

Metodo diretto del CdV

- Pere risolvere un'equazione, troviamo una formulazione variazionale
(l'equazione è un'eq.ne di (EL) per un certo funzionale)

Dimostra che L ha minimo con Weierstraß:

- (1) Prendiamo una successione minimizzante u_k
(coeredità: i sottolivelli sono compatti)

\Rightarrow abbiammo un'estratta convergente $u_k \rightarrow u$

- (2) Se c'è semicontinuità inferiore ($L(u) \leq \liminf L(u_k)$ se $u_k \rightarrow u$)
allora $\exists u$ minimo di L .

convessità

IDEA Se f è convessa, $f'(x_0) = 0 \Rightarrow f(x) \geq f(x_0) \quad \forall x$
 ↗ retta tangente

Consideriamo

$$L(u) = \int_{\Omega} L(x, u, \nabla u) dx$$

$$u: \Omega \subseteq \mathbb{R}^n \rightarrow \mathbb{R}$$

Supponiamo che $\forall x \in \Omega \quad (y, z) \mapsto L(x, y, z)$ sia convessa e derivabile.

Allora $\forall x \in \Omega \quad \forall y, y_0 \in \mathbb{R} \quad \forall z, z_0 \in \mathbb{R}$

$$L(x, y, z) \geq L(x, y_0, z_0) + \frac{\partial L}{\partial y}(x, y_0, z_0) \cdot (y - y_0) + \nabla_z L(x, y_0, z_0) \cdot (z - z_0)$$

(piano tangente in $(u(y_0, z_0), y_0, z_0)$)

$y = u(x)$, $z = \nabla u(x)$, $y_0 = u_0(x)$, $z_0 = \nabla u_0(x)$, dove u_0 è il candidato minimo

e u è un competitor t.c. $u(x) = u_0(x) \quad \forall x \in \partial\Omega$

$$L(u) = \int_{\Omega} L(x, u(x), \nabla u(x)) dx \geq$$

$$\geq \int_{\Omega} L(x, u_0, \nabla u_0) + \frac{\partial L}{\partial y}(x, u_0, \nabla u_0) \cdot (u(x) - u_0(x)) + \nabla_z L(x, u_0, \nabla u_0) \cdot (\nabla u - \nabla u_0) dx =$$

$$= L(u_0) + \int_{\Omega} \left[\frac{\partial L}{\partial y}(x, u_0, \nabla u_0) - \operatorname{div}_x \nabla_z L(x, u_0, \nabla u_0) \right] (u - u_0) dx + \int_{\partial\Omega} \nabla_z L(x, u_0, \nabla u_0) \cdot \nu_{\partial\Omega} (u - u_0) ds =$$

$$= L(u_0) + \int_{\partial\Omega} (E) \cdot (u - u_0) ds = L(u_0)$$

(se $u = u_0$ su $\partial\Omega$
 se non ho condizioni al bordo)

esempio Integrale di Dirichlet : $L(x, y, z) = \frac{1}{2} |z|^2$

Superficie minime : $L(x, y, z) = \sqrt{1+|z|^2}$

esempio Brachistocrona

$$L(x, y, z) = \frac{\sqrt{1+z^2}}{\sqrt{x}}$$

è convessa in (y, z)

ma $\frac{\sqrt{1+z^2}}{\sqrt{y}}$ non è convessa in (y, z)

esempio Catenide

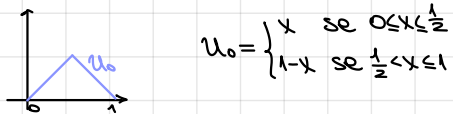
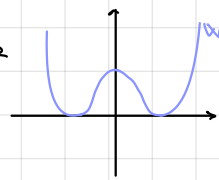
$$L(x, y, z) = x \sqrt{1+z^2}$$

è convessa in (y, z)

Esempi in cui le cose vanno male

Esempio Doppio zero

$$\begin{cases} L(u) = \int_0^1 W(u'(x)) dx \\ \{L(u) \rightarrow \min \\ u(0) = u(1) = 0 \end{cases}$$



$$u_0 \in C_p^1([0,1])$$

$$\Rightarrow L(u_0) = 0 \Rightarrow u_0 \text{ è minimo assoluto su } C_p^1 \text{ (ma non è unico)}$$

In C^1 non c'è soluzione

$$(EL) \quad 0 = \frac{d}{dx} -W'(u)(1-u'(x)^2), \text{ cioè } W'(u'(x)) \text{ è costante}$$

Se $u \in C^1$, u' non salta, $W'(u'(x))$ costante $\Rightarrow u'(x)$ costante $\Rightarrow u(x) = mx + q$

Ma con i dati al bordo, segue $u(0)=0$, che non è un minimo ($L(0)=1$)

Quindi ci sono infiniti minimi in C_p^1 , nessuno in C^1

Nota Ci sono successioni minimizzanti in C^1 :

$$u_k \in C^1 \text{ t.c. } L(u_k) \rightarrow 0$$

Ora se, possiamo approssimare $u_0 \in C_p^1$ con $u_k \in C^1$
in modo che $L(u_k) \rightarrow L(u_0)$

Lemma di allacciamento

$$\forall u \in C_p^1 \quad \forall \varepsilon > 0 \quad \exists u_\varepsilon \in C^1([a,b]) \text{ t.c.}$$

$$\|u_\varepsilon - u\|_\infty \leq \varepsilon, \quad \|u'_\varepsilon\|_\infty \leq 2(\|u'\|_\infty + 1)$$

$$\varepsilon |\{x \in [a,b] : u_\varepsilon(x) \neq u(x)\}| \leq \varepsilon$$

Se l'ambiente è C_p^1 , posso ottenere delle condizioni nei punti di non derivabilità?

(EL non ha senso in quei punti)

$$u \in C_p^1([a,b]) \quad \exists a = x_0 < \dots < x_n = b, \quad u \in C^1([x_{k-1}, x_k])$$

$$L(u) = \int_a^b L(x, u(x), u'(x)) dx = \sum_{k=1}^n \int_{x_{k-1}}^{x_k} L(x, u(x), u'(x)) dx$$

$$\frac{d}{d\varepsilon} L(u+\varepsilon\varphi) \Big|_{\varepsilon=0} = \sum_{k=1}^n \int_{x_{k-1}}^{x_k} \underbrace{\left[\frac{\partial L}{\partial y}(x, u, u') - \frac{d}{dx} \frac{\partial L}{\partial z}(x, u, u') \right] \varphi(x)}_{\text{se } \varphi(a)+0} dx + \sum_{k=1}^n \left[\frac{\partial L}{\partial z}(x, u, u') \varphi(x) \right]_{x_{k-1}}^{x_k}$$

Se φ si annulla su tutti i nodi, ottengo EL

$$\text{da somma diventa } \underbrace{\frac{\partial L}{\partial z}(x, u, u') \varphi(x) \Big|_{x=a}}_{=0} + \underbrace{\sum_{k=1}^n \left[\frac{\partial L}{\partial z}(x, u, u') - \frac{\partial L}{\partial z}(x, u, u') \right] \varphi \Big|_{x=x_k}}_{=0} - \underbrace{\frac{\partial L}{\partial z}(x, u, u') \varphi \Big|_{x=b}}_{=0} \text{ se scelgo } \varphi \text{ con } \varphi(x_k) \neq 0 \text{ se } \varphi(b) \neq 0$$

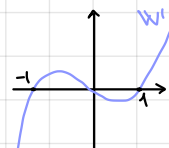
Ottieniamo la condizione di Erdmann - Weierstrass:

$$\frac{\partial L}{\partial z}(x_k, u(x_k), u'_-(x_k)) = \frac{\partial L}{\partial z}(x_k, u(x_k), u'_+(x_k)) \quad \text{per } k=1, \dots, n-1$$

Nota Se $\frac{\partial L}{\partial z}$ è iniettiva rispetto a z , la condizione dice che $u'_-(x_k) = u'_+(x_k) \Rightarrow u \in C^1$

Nell'esempio precedente: $\frac{\partial L}{\partial z}(x, y, z) = 4z(z^2-1)$

$$\Rightarrow u'_+((u'_+)^2-1) = u'_-((u'_-)^2-1)$$



Oss Questa condizione è la condizione di Snell che abbiamo visto

Esempio finto continuo

$$L(u) = \int_0^1 W(u)$$

$$\left\{ \begin{array}{l} L(u) \rightarrow \min \\ u(0) = 0, u(1) = 3 \end{array} \right.$$

$$\left\{ \begin{array}{l} u(0) = 0, u(1) = 3 \end{array} \right.$$

Si usa lo stesso metodo:

$W'(u') = \text{cost}$ dove u' è continua $\Rightarrow u'$ costante

$\Rightarrow u$ è lineare a pezzi

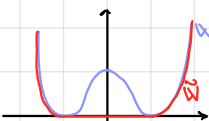
$u_0(x) = 3x$ soddisfa $u_0(0) = 0, u_0(1) = 3$

$L(u_0) = \int_0^1 W(3)$ u_0 è minimo assoluto in C_p^1 ?

In C_p^1 EW: condizioni incompatibili

In C^1 u_0 è l'unica soluzione che soddisfa EL e le condizioni al bordo.

Idea



$$\tilde{W}(z) = \begin{cases} W(z) & \text{se } |z| \geq 1 \\ 0 & \text{se } |z| \leq 1 \end{cases}$$

(convettificato di W)

$$L(u_0) = \int_0^1 W(u_0) = \int_0^1 \tilde{W}(u_0) \leq \int_0^1 \tilde{W}(u) \leq \int_0^1 W(u) = L(u)$$

$$W(3) = \tilde{W}(3) \quad \forall u \in C^1, u(0) = 0, u(1) = 3$$

poiché \tilde{W} è convesso e u_0 soddisfa EL per \tilde{W}

$\Rightarrow u_0$ è minimo per L

Idea banale se u_0 è minimo di $\tilde{L}(u)$ e $\tilde{L}(u_0) = L(u_0)$ e $\tilde{L} \leq L$,

allora u_0 minimizza L . $L(u_0) = \tilde{L}(u_0) \leq \tilde{L}(u) \leq L(u)$

Esempio più continuo

$$L(u) = \int_0^1 [W(u') + \frac{1}{2} (u''(x))^2] dx$$

$$\left\{ \begin{array}{l} u(0) = 0 \\ u(1) = 0 \end{array} \right.$$

$$\left\{ \begin{array}{l} L(u) \rightarrow \min \\ L \geq 0, \exists u: L(u) = 0 \end{array} \right.$$

$$\text{Ma } \forall \varepsilon > 0 \exists u \in C_p^1 \text{ t.c. } L(u) < \varepsilon$$

$\Rightarrow L$ non ha minimo



$$L(u_\varepsilon) = \int_0^1 0 + \frac{1}{2} |u'_\varepsilon|^2 \leq \frac{1}{2} \int_0^1 \varepsilon^2 = \frac{\varepsilon^2}{2}$$

$u_\varepsilon \in C_p^1$ ma grazie al lemma di allungamento si ottiene \tilde{u}_ε :

$$L(\tilde{u}_\varepsilon) = \int_0^1 W(\tilde{u}'_\varepsilon) + \frac{1}{2} \int_0^1 |\tilde{u}'_\varepsilon|^2 \leq W(0)N\varepsilon^2 + \frac{1}{2}\varepsilon^2 \underset{N \rightarrow \infty}{\sim} W(0)\varepsilon + \frac{1}{2}\varepsilon^2 \xrightarrow{\varepsilon \rightarrow 0} 0$$

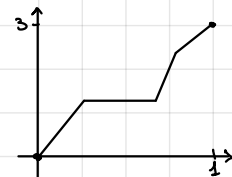
($u_\varepsilon \in C_p^1, \tilde{u}_\varepsilon \in C^1$ sono successioni minimizzanti)

Oss $u_k \rightarrow 0$ uniformemente, ma $L(u_k) \rightarrow 0$ mentre $L(0) = \int_0^1 W(0) = 1$

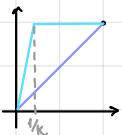
L non è semicontinuo inferiormente

Nota Se sceglie la topologia di C^1 ($u_k \xrightarrow{C^1} u \Leftrightarrow \frac{u_k - u}{u_k} \xrightarrow{C^1} 0$)

allora L è continuo, ma $u_k \not\xrightarrow{C^1} 0$

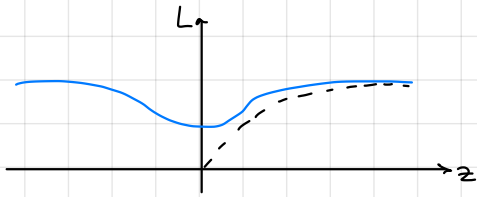


Esempio $L(u) = \int_0^1 \sqrt[3]{1+(u'(x))^2} dx$ $u(0)=0, u(1)=1$
 $L(x,y,z) = \sqrt[3]{1+z^2}$



$$\int_0^1 |u'(x)| dx = u(1) - u(0)$$

qualsiasi funzione crescente paga ugualmente (caso lineare)



Nel caso sublineare, conviene avere derivata grossa.

$$u_k(x) = \begin{cases} kx & \text{se } x \leq \frac{1}{k} \\ 1 & \text{se } x > \frac{1}{k} \end{cases} \quad u_k \in C_p^1([0,1])$$

$$L(u_k) = \int_0^{1/k} \sqrt[3]{1+k^2} + \int_{1/k}^1 \sqrt[3]{1} = \frac{\sqrt[3]{1+k^2}}{k} + 1 - \frac{1}{k} \xrightarrow{k \rightarrow \infty} 1$$

$$L(u) = \int_0^1 \sqrt[3]{1+(u(x))^2} dx \geq 1, \quad \text{quindi } \inf_{C_p^1} L = 1 = \inf_{C^1} L \quad (\text{per allungamento})$$

Se fosse $L(u)=1 \Rightarrow (u')^2=0 \Rightarrow u'=0$, cioè u costante

Moralmente il minimo è $u(x) = \begin{cases} 0 & \text{se } x=0 \\ 1 & \text{altrimenti} \end{cases}$



Esempio (Weierstraß)

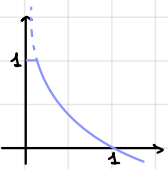
$$L(u) = \frac{1}{2} \int_0^1 x |u'(x)|^2 dx \quad u(0)=1, u(1)=0$$

$L(x,y,z) = xz^2$ è convessa in z $\forall x$ ma non uniformemente

$$\frac{\partial L}{\partial y} = 0, \quad \frac{\partial L}{\partial z} = 2xz$$

$$(EL) \quad 0 = \frac{d}{dx} 2xu'(x) \Rightarrow xu''(x) = c \Rightarrow u'(x) = \frac{c}{x} \Rightarrow u(x) = cx \log x + d$$

$$u(1)=0 \rightarrow d=0, \quad u(0) \rightarrow \pm \infty \neq 1$$



$$u_\varepsilon(x) = \begin{cases} 1 & \text{se } x \leq \varepsilon \\ \frac{\log x}{\log \varepsilon} & \text{se } x > \varepsilon \end{cases}$$

$$L(u_\varepsilon) = \int_0^\varepsilon x \cdot 0 + \int_\varepsilon^1 x \left(\frac{1}{x \log \varepsilon} \right)^2 dx = \frac{1}{\log \varepsilon} \int_0^1 \frac{1}{x} dx = -\frac{1}{\log \varepsilon} \xrightarrow{\varepsilon \rightarrow 0^+} 0^+$$

Inoltre $L(u) \geq 0 \Rightarrow \inf_{C_p^1} L = \inf_{C^1} L = 0$

ma se fosse $L(u)=0 \Rightarrow u$ costante impossibile

Esempio $L(u) = \int_0^1 (u'(x))^3 dx \quad u(0)=u(1)=0$

non esistono i minimi

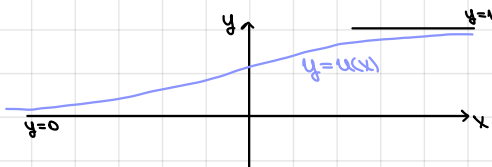
Esempio $L(x, y, z)$ è convessa in z ma non in (y, z)

(transizione di fase)

$$L(u) = \int_{-\infty}^{+\infty} [W(u(x)) + \frac{1}{2}|u'(x)|^2] dx \quad \text{con } W(y) = \frac{1}{2}y^2(1-y^2)$$

$$\lim_{x \rightarrow -\infty} u(x) = 0$$

$$\lim_{x \rightarrow +\infty} u(x) = 1$$



$$L(x, y, z) = W(y) + \frac{1}{2}z^2$$

$$(EB) \quad L - u' \frac{\partial L}{\partial z} = \text{cost} \quad \text{se } L \text{ non dipende da } x$$

$$\frac{\partial L}{\partial z} = z \Rightarrow W(u(x)) + \frac{1}{2}|u'(x)|^2 - (u')^2 = \text{cost}$$

$$\frac{1}{2}u^2(1-u)^2 - \frac{1}{2}(u')^2 = C$$

$$\Rightarrow (u')^2 = u^2(1-u)^2 - 2C \quad u \xrightarrow{x \rightarrow \infty} 0 \Rightarrow u^2(1-u)^2 \rightarrow 0, \text{ cioè } (u')^2 \rightarrow -2C$$

quindi $C=0$

$$\Rightarrow u' = \pm u(1-u)$$

$$\cdot 0 \leq u \leq 1$$

$$\cdot u' \geq 0$$

Quindi considero $u' = u(1-u)$

$$\Rightarrow \int \frac{1}{u(1-u)} du = x + C \Rightarrow \log u - \log(1-u) = x + C$$

$$\Rightarrow \log \frac{u}{1-u} = x + C \Rightarrow \frac{u}{1-u} = e^{x+C} \Rightarrow u(x) = \frac{e^{x+C}}{1+e^{x+C}}$$

C dà una traslazione lungo le x (infinte soluzioni)

$$\text{Scegliamo } C=0: u_0(x) = \frac{e^x}{1+e^x}$$

u_0 è minimo di L ?

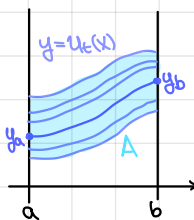
$$L(u) = \frac{1}{2} \int_{-\infty}^{+\infty} u^2(1-u)^2 + (u')^2 \geq \int_{-\infty}^{+\infty} u(1-u)u'(x) dx = \int_0^1 u(1-u)du = \left[\frac{u^2}{2} - \frac{u^3}{3} \right]_0^1 = \frac{1}{6}$$

$$L(u) = \frac{1}{6} \Leftrightarrow a^2 + b^2 = 2ab \Leftrightarrow a = b, \text{ cioè } u' = u(1-u) \Rightarrow u = u_0$$

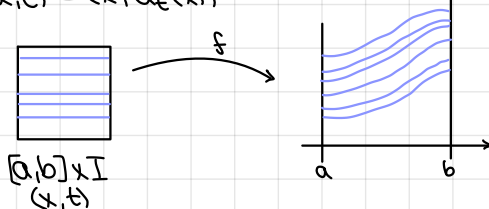
calibrazioni o campi di Weierstraß

$$\begin{cases} \mathcal{L}(u) = \int_a^b L(x, u(x), u'(x)) dx \\ u(a) = y_a \\ u(b) = y_b \end{cases}$$

con L convessa in $z \in \mathbb{A}(x,y)$



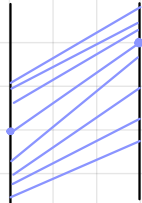
Al variare di $t \in I$ intervallo intorno di 0,
trovo delle soluzioni di (EL) $u_t(x)$ che "fibrano" una regione A ,
dove $f(x,t) = (x, u_t(x))$



con f iniettiva (in realtà sarei diffeomorfismo)

Teorema Allora $u_t(x)$ realizza il minimo di \mathcal{L}
sulla classe di tutte le $u: [a,b] \rightarrow \mathbb{R}$
t.c. $u(a) = u_t(a)$, $u(b) = u_t(b)$ e $(x, u(x)) \in A$

Esempio Geodetiche



DIMOSTRAZIONE

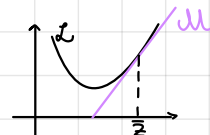
Passo 1 Usare la convessità per rendere il
funzionale lineare in z

Fissati (x,y)

$$L(x, y, z) \geq L(x, y, \bar{z}(x, y)) + \frac{\partial L}{\partial z}(x, y, \bar{z}(x, y)) \cdot (z - \bar{z}(x, y)) \quad (\text{per convessità})$$

Sceglio $\bar{z}(x, y) = \bar{z}(x, u_t(x)) = u'_t(x)$

$$(x, y) \in A \Rightarrow \exists t : (x, y) = (x, u_t(x))$$



$$\text{Poniamo } M(x, y, z) := L(x, y, \bar{z}(x, y)) + \frac{\partial L}{\partial z}(x, y, \bar{z}(x, y)) \cdot (z - \bar{z}(x, y))$$

$$\mathcal{L}(u) = \int_a^b L(x, u(x), u'(x)) dx \geq \int_a^b M(x, u(x), u'(x)) dx = M(u)$$

$$\mathcal{L}(u_t) = \int_a^b L(x, u_t(x), u'_t(x)) dx = \int_a^b M(x, u_t(x), u'_t(x)) dx = M(u)$$

$u'_t(x) = \bar{z}(x, u(x))$

Lemma Se $\mathcal{L}(u) \geq M(u)$ $\forall u$ t.c. $(x, u(x)) \in A$ e $\mathcal{L}(u_t) = M(u)$,
se u_t è minimo per M allora u_t è minimo per \mathcal{L} .

Quindi basta mostrare che $M(u_t)$ è minimo per $M(u) = \int_a^b M(x, u(x), u'(x)) dx$.

Def. Se $\exists S$ tale che $L(x, u(x), u'(x)) = \frac{d}{dx} S(x, u(x))$
allora L si dice **lagrangiana nulla** (null-lagrangian)

$$L(u) = \int_a^b L(x, u(x), u'(x)) dx = \int_a^b \frac{d}{dx} S(x, u(x)) dx = S(b, u(b)) - S(a, u(a))$$

dipende solo dai dati al bordo

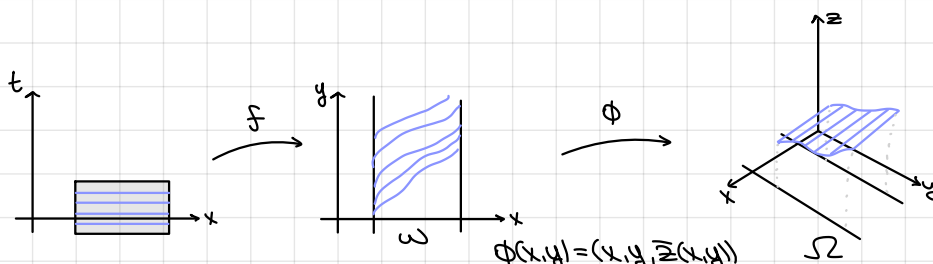
$\Rightarrow L$ è costante sulla classe delle funzioni con dato al bordo fissato
 \Rightarrow ogni u è minimo per L

Passo 2 Basta mostrare che M è una lagrangiana nulla

$$\begin{aligned} M(u) &= \int_a^b L(x, u(x), \bar{z}(x, u(x))) + \frac{\partial L}{\partial z}(x, u(x), \bar{z}(x, u(x))) \cdot (u'(x) - \bar{z}(x, u(x))) = \\ &= \int_f \omega \quad \text{con } \gamma(x) = \begin{pmatrix} x \\ u(x) \end{pmatrix}, \gamma: [a, b] \rightarrow \mathbb{R}^2 \\ \omega &= (L(x, y, \bar{z}(x, y)) - \bar{z} \frac{\partial L}{\partial z}(x, y, \bar{z}(x, y)) \cdot \bar{z}(x, y)) dx + \bar{z} \frac{\partial L}{\partial z}(x, y, \bar{z}(x, y)) dy \end{aligned}$$

M è una lagrangiana nulla $\Leftrightarrow \omega$ è esatta, cioè $\omega = d\sigma$:

$$\begin{aligned} M(u) &= \int_f \omega = S(\gamma(b)) - S(\gamma(a)) = S(a, u(a)) - S(b, u(b)) \\ \omega &= \alpha dx + \beta dy \quad \text{con } \alpha(x, y) = L(x, y, \bar{z}) - \bar{z} \frac{\partial L}{\partial z}(x, y, \bar{z}), \beta(x, y) = \bar{z} \frac{\partial L}{\partial z}(x, y, \bar{z}) \end{aligned}$$



$$\Omega = (L(x, y, z) - z \frac{\partial L}{\partial z}(x, y, z)) dx + \frac{\partial L}{\partial z}(x, y, z) dy \quad (\text{forma di Boltzmann})$$

Si nota che $\omega = \Phi^* \Omega$

A semplicemente连通的 f diffeomorfismo ($\omega = f^{-1*} f^* \omega$)
 ω è esatta $\Leftrightarrow \omega$ è chiusa $\Leftrightarrow f^* \omega$ è chiusa
 $f^* \omega = (\Phi \circ f)^* \Omega$

$$\begin{aligned} x &= x \\ y &= u_t(x) = g(x, t) \quad dx = dx \\ z &= u_{tt}(x) = \frac{\partial g}{\partial x}(x, t) \quad dy = \frac{\partial g}{\partial x} dx + \frac{\partial g}{\partial t} dt \\ &\quad dz = \frac{\partial^2 g}{\partial x^2} dx + \frac{\partial^2 g}{\partial x \partial t} dt \end{aligned}$$

$$\begin{aligned} (\Phi \circ f)^* \Omega &= \left(L(x, u_t(x), u_{tt}(x)) - u_t(x) \frac{\partial L}{\partial z}(x, u_t(x), u_{tt}(x)) \right) dx + \frac{\partial L}{\partial z}(x, u_t(x), u_{tt}(x)) \left(\frac{\partial g}{\partial x} dx + \frac{\partial g}{\partial t} dt \right) = \\ &= L(x, u_t, u_{tt}) dx + \frac{\partial L}{\partial z}(x, u_t, u_{tt}) \cdot \frac{\partial g}{\partial t} dt \end{aligned}$$

è chiusa se:

$$0 = \frac{d}{dt} L(x, u_t, u_{tt}) - \frac{d}{dx} \left(\frac{\partial L}{\partial z}(x, u_t, u_{tt}) \frac{\partial g}{\partial t} \right) =$$

$$= \frac{\partial L}{\partial y}(x, u_t, u_{tt}) \frac{\partial g}{\partial t} + \frac{\partial L}{\partial z}(x, u_t, u_{tt}) \frac{\partial^2 g}{\partial x \partial t} - \frac{\partial L}{\partial y}(x, u_t, u_{tt}) \frac{\partial^2 g}{\partial t^2} - \frac{\partial L}{\partial z}(x, u_t, u_{tt}) \frac{\partial^2 g}{\partial x^2}$$

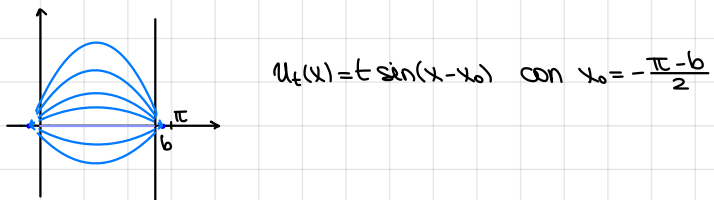
u_t soddisfa (EL) $\frac{\partial L}{\partial y}(x, u_t, u_{tt}) = \frac{d}{dx} \frac{\partial L}{\partial z}(x, u_t, u_{tt})$

□

Esempio $L(u) = \frac{1}{2} \int_0^b |u'(x)|^2 - |u(x)|^2 dx \quad u(a) = u(b) = 0$

 $L(x,y,z) = \frac{1}{2} z^2 - \frac{1}{2} y^2$

(EL) $-u'' = \frac{d}{dx} u'(x)$ cioè $u'' + u = 0 \quad (\lambda^2 + 1 = 0 \Rightarrow \lambda_{1,2} = \pm i)$

 $\Rightarrow u(x) = A \cos x + B \sin x = C \sin(x - x_0)$
 $u(0) = 0 \Rightarrow A = 0 \quad \rightarrow u(x) = B \sin x$
 $u(b) = 0 : \text{ se } b < \pi, \text{ allora } B = 0$
 $\Rightarrow u = 0 \text{ è l'unica soluzione di EL}$
 $L(0) = 0$


Ogni u_t è minimo di L con il suo dato al bordo
e u_0 è il minimo di L con dato nullo.

$L(u) \geq L(u_0) = 0 \quad \Rightarrow \int_0^b |u'(x)|^2 dx \geq \int_0^b |u(x)|^2 dx \quad \text{se } b < \pi, \forall u \in C^1([0,b])$
disegualanza di Poincaré

superfici minime: problema di Plateau

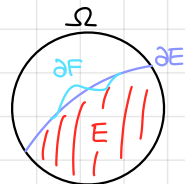
Approccio geometrico

$E \subseteq \Omega \subseteq \mathbb{R}^n$ E abbastanza regolare, B aperto in Ω

$P_{\partial\Omega}(E, B) =$ "area della frontiera di E contenuta in B,"
 $= \int_{B \cap \partial E} ds$

In generale, $P_{\partial\Omega}$ si definisce sugli insiemi di Caccioppoli

Def. E si dice **localmente minimo** se $\forall F$ t.c. $E \Delta F \subseteq \Omega$
si ha $P_{\partial\Omega}(E, B) \leq P_{\partial\Omega}(F, B)$
dove B è un aperto limitato con $E \Delta F \subseteq B$



Ha senso anche quando Ω è illimitato, ad esempio $\Omega = \mathbb{R}^n$.

B serve a focalizzare e rendere finito il perimetro.

Esempio E semispazio. vedremo che E è localmente minimo

Con questa definizione, si ha l'esistenza dei minimi.

Ci si chiede poi la regolarità di tali minimi.

Metodo delle calibrazioni

Def. Dato $E \subseteq \Omega \subseteq \mathbb{R}^n$, si dice **calibrazione** un campo vettoriale $\xi : \Omega \rightarrow \mathbb{R}^n$ t.c.

$$(i) |\xi(x)| \leq 1 \quad \forall x \in \Omega$$

$$(ii) \xi(x) = V_E(x) \quad \forall x \in \partial E$$

$$(iii) \operatorname{div} \xi(x) = 0 \quad \forall x \in \Omega$$

$$(iii') \operatorname{div} \xi \geq 0 \text{ su } F \cdot E, \operatorname{div} \xi \leq 0 \text{ su } E \cdot F \quad (\text{sub-calibrazione})$$

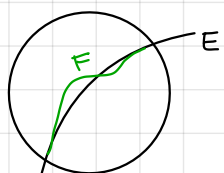
Teorema Se esiste una (sub-)calibrazione ξ per $E \subseteq \Omega \subseteq \mathbb{R}^n$, allora E è localmente minimo

DIMOSTRAZIONE

$$P_{\partial\Omega}(F, B) - P_{\partial\Omega}(E, B) = \int_{\partial F \cap B} ds - \int_{\partial E \cap B} ds \geq$$

$$\stackrel{(i)}{\geq} \int_{\partial F \cap B} \langle \xi, V_F \rangle ds - \int_{\partial E \cap B} ds \stackrel{(ii)}{=} \int_{\partial F \cap B} \langle \xi, V_F \rangle ds - \int_{\partial E \cap B} \langle \xi, V_E \rangle ds =$$

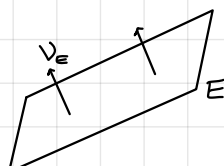
$$\stackrel{E \Delta F \subseteq B}{=} \int_{\partial(B \cap F)} \langle \xi, V_F \rangle ds - \int_{\partial(E \cap B)} \langle \xi, V_E \rangle ds \stackrel{\substack{\text{Teo. Div.} \\ (iii)}}{=} \int_{B \cap F} \operatorname{div} \xi - \int_{B \cap E} \operatorname{div} \xi \stackrel{(iii')}{\geq} 0$$



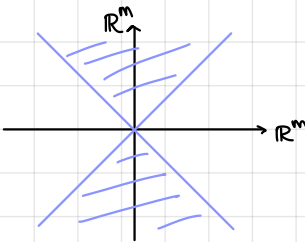
□

Esempio E semispazio

V_E è costante: pongo $\xi \equiv V_E$



esempio Cono di Simons
 $E = \{(x,y) \in \mathbb{R}^m \times \mathbb{R}^m : |y| \geq |x|\}$



teorema Se $m \geq 4$, E è minimo.

DIMOSTRAZIONE

$$f(x,y) = \frac{1}{4}(|x|^4 - |y|^4)$$

$$E = \{(x,y) \in \mathbb{R}^m \times \mathbb{R}^m : f(x,y) \leq 0\}$$

IDEA $\tilde{z} = \frac{\nabla f}{|\nabla f|}$ è una sub-calibrazione

$$(i) |\tilde{z}(x,y)| = 1$$

$$(ii) \tilde{z}(x,y) = v_E(x,y) \text{ se } (x,y) \in \partial E$$

E è un sottolivello di f , $\partial E = \{f=0\} \Rightarrow \nabla f \perp \partial E$ ed è uscente

$$\Rightarrow \tilde{z} \equiv v_E$$

(iii) Calcoliamo $\operatorname{div} \tilde{z}$

$$\nabla f(x,y) = (|x|^2, -|y|^2)$$

$$|\nabla f(x,y)| = \sqrt{|x|^2|x|^4 + |y|^2|y|^4} = \sqrt{|x|^6 + |y|^6}$$

$$\tilde{z} = \frac{\nabla f}{|\nabla f|} = \frac{1}{\sqrt{|x|^6 + |y|^6}} (|x|^2, -|y|^2)$$

$$\frac{\partial}{\partial x_k} \frac{\partial f}{\partial x_k} = \frac{\partial}{\partial x_k} |x|^2 x_k = 2x_k^2 + |x|^2, \quad \frac{\partial}{\partial y_k} \frac{\partial f}{\partial y_k} = -2y_k^2 - |y|^2$$

$$\frac{\partial}{\partial x_k} \frac{1}{|\nabla f|} = \frac{\partial}{\partial x_k} (|x|^6 + |y|^6)^{-\frac{1}{2}} = -\frac{1}{2} \frac{3|x|^4 \cdot 2x_k}{(|x|^6 + |y|^6)^{\frac{3}{2}}} = -\frac{3x_k|x|^4}{(|x|^6 + |y|^6)^{\frac{3}{2}}}$$

$$\frac{\partial}{\partial x_k} \tilde{z}_k = \frac{\partial}{\partial x_k} \frac{\partial f}{\partial x_k} = \frac{2x_k^2 + |x|^2}{|\nabla f|} - \frac{3|x|^4 x_k \cdot |x|^2 x_k}{(|x|^6 + |y|^6)^{\frac{3}{2}}} = \frac{(2x_k^2 + |x|^2)(|x|^6 + |y|^6) - 3x_k^2|x|^6}{(|x|^6 + |y|^6)^{\frac{3}{2}}}$$

$$\operatorname{div} \tilde{z} = \frac{1}{(|x|^6 + |y|^6)^{\frac{3}{2}}} \left[(2|x|^2 + m|x|^2)(|x|^6 + |y|^6) - 3|x|^6|x|^2 - (2|y|^2 + m|y|^2)(|x|^6 + |y|^6) + 3|y|^6|y|^2 \right] =$$

$$= \frac{1}{(|x|^6 + |y|^6)^{\frac{3}{2}}} \left[(m+2)(|x|^2 - |y|^2)(|x|^6 + |y|^6) - 3|x|^8 + 3|y|^8 \right] =$$

$$= \frac{1}{(|x|^6 + |y|^6)^{\frac{3}{2}}} \left[(m-1)(|x|^8 - |y|^8) + (m+2)|x|^2|y|^2(|y|^4 - |x|^4) \right] =$$

$$= \frac{1}{(|x|^6 + |y|^6)^{\frac{3}{2}}} (|x|^4 - |y|^4) \underbrace{[(m-1)(|x|^4 + |y|^4) - (m+2)|x|^2|y|^2]}$$

Vorrei fosse di segno costante:

Ponendo $t = \frac{|y|^2}{|x|^2}$ e dividendo per $|x|^4$:

$$(m-1)(1+t^2) - (m+2)t = (m-1)t^2 - (m+2)t + (m-1)$$

$$\Delta = (m+2)^2 - 4(m-1)^2 = m^2 + 4m + 4 - 4m^2 + 8m - 4 = -3m^2 + 12m$$

$$\Delta \leq 0 \iff 12 - 3m \leq 0 \iff m \geq 4$$

□

SPAZI DI SOBOLEV

Def. $\Omega \subseteq \mathbb{R}^n$ aperto

$$L^p(\Omega) = \{u: \Omega \rightarrow \mathbb{R} : u \text{ misurabile}, \int_{\Omega} |u|^p < +\infty\}$$

dove $u \sim v$ se $u = v \quad \forall x \in \Omega$

$$L^\infty(\Omega) = \{u: \Omega \rightarrow \mathbb{R} : u \text{ misurabile}, \exists M \in \mathbb{R} : |u(x)| \leq M \quad \forall x \in \Omega\}$$

$L^p(\Omega)$ è uno spazio di Banach con norma. $\|u\|_p = (\int_{\Omega} |u|^p)^{\frac{1}{p}}$

$L^\infty(\Omega)$ è uno spazio di Banach con norma: $\|u\|_\infty = \operatorname{ess\,sup}_{\Omega} |u|$

Def. $L^p_{loc}(\Omega) = \{u: u|_B \in L^p(B) \quad \forall B \subseteq \Omega\}$

Se Ω ha misura finita

$$L^p(\Omega) \subseteq L^q(\Omega) \quad \forall p > q$$

Def. $C_c^\infty = \{\varphi: \Omega \rightarrow \mathbb{R} \text{ t.c. } \varphi \in C^\infty, \operatorname{spt} \varphi \subseteq \Omega\}$

dove $\operatorname{spt} \varphi = \overline{\{x : \varphi(x) \neq 0\}}$

Def. $u \in L^p_{loc}(\mathbb{R}^n), \psi \in C_c^\infty$

$$(u * \psi)(x) = \int_{\mathbb{R}^n} u(y) \psi(x-y) dy$$

Def. I **mollificazioni** sono $\rho_\varepsilon \in C_c^\infty(\mathbb{R}^n)$,

$$\operatorname{spt} \rho_\varepsilon \subset B(0, \varepsilon), \int_{\mathbb{R}^n} \rho_\varepsilon = 1, \rho_\varepsilon \geq 0, \rho_\varepsilon = f(x)$$

Detto $u_\varepsilon = u * \rho_\varepsilon$, valgono:

$$(1) \frac{\partial}{\partial x_k} (u * \psi) = u * \frac{\partial}{\partial x_k} \psi$$

$$(2) u_\varepsilon = u * \rho_\varepsilon \in C^\infty$$

$$(3) \text{ se } u \in L^p(\mathbb{R}^n), 1 \leq p < +\infty, u_\varepsilon \xrightarrow{\varepsilon \rightarrow 0} u \text{ in } L^p(\mathbb{R}^n)$$

$$(4) C_c^\infty(\mathbb{R}^n) \text{ è denso in } L^p(\mathbb{R}^n)$$

$$(5) \text{ Dato } K \subseteq \Omega \text{ esiste } \psi \in C_c^\infty(\Omega) \text{ t.c.}$$

$$\mathbf{1}_K(x) \leq \psi(x) \leq 1$$

Lemma

fondamentale del cav

Sia $u \in L^p_{loc}(\Omega)$ tale che

$$\int_{\Omega} u(x) \varphi(x) = 0 \quad \forall \varphi \in C_c^\infty(\Omega)$$

Allora $u = 0$ in $L^p_{loc}(\Omega)$.

DIMOSTRAZIONE

Sia $K \subseteq \Omega$ compatto, sia $\psi \in C_c^\infty(\Omega)$ t.c. $\mathbf{1}_K(x) \leq \psi(x) \leq 1$

$$u\psi \in L^1(\Omega), \text{ quindi } u\psi \in L^1(\mathbb{R}^n)$$

$$u_\varepsilon = (u\psi) * \rho_\varepsilon \in C_c^\infty(\Omega) \text{ se } \varepsilon < \operatorname{dist}(\operatorname{spt} \psi, \partial\Omega)$$

$$u_\varepsilon(x) = \int_{\mathbb{R}^n} u(y) \underbrace{\psi(y)}_{C_c^\infty(\Omega)} \rho_\varepsilon(x-y) dy = 0$$

$$\text{Ma } u_\varepsilon \xrightarrow{L^1(\mathbb{R}^n)} u\psi \implies u\psi = 0$$

$$\text{Ma } \psi \equiv 1 \text{ su } K \implies u = 0 \text{ su } K \quad \forall K \subseteq \Omega$$

$$\implies u = 0 \text{ su } \Omega$$

□

Lemma di Du Bois-Reymond

Se $u \in L^1_{loc}(a,b)$ tale che
 $\int_a^b u(x) \varphi'(x) dx = 0 \quad \forall \varphi \in C_c^\infty(a,b)$
Allora $\exists c \in \mathbb{R}$ t.c. $u = c$ in $L^1_{loc}(a,b)$.

Oss Se fosse $u \in C^1$: $\int_a^b u \varphi' = - \int_a^b u' \varphi = 0 \Rightarrow u' = 0$

Oss Se $\varphi \in C_c^\infty(a,b)$, allora $\int_a^b \varphi = 0$
 $\Leftrightarrow \exists \psi \in C_c^\infty(a,b)$ t.c. $\varphi = \psi'$

DIMOSTRAZIONE

(\Leftarrow) chiaro

(\Rightarrow) $\psi(x) = \int_a^x \varphi$: $\psi(x) = 0$ in $[a, a+\varepsilon]$, $\psi(b) = \int_a^b \varphi = 0$
ma anche $\psi(x) = 0$ in $[b-\varepsilon, b]$ \square

DIMOSTRAZIONE

Sia $\psi \in C_c^\infty(a,b)$

Prendo $\mu \in C_c^\infty(a,b)$ t.c. $\int_a^b \mu = 1$

$k = \int_a^b \psi$ e notiamo che $\psi - k\mu \in C_c^\infty$:

$$\int_a^b (\psi - k\mu) = \int_a^b \psi - k \int_a^b \mu = 0$$

Perciò l'oss, $\exists \varphi \in C_c^\infty$ t.c. $\varphi' = \psi - k\mu$

Perciò ipotesi

$$0 = \int_a^b u \varphi' = \int_a^b u \psi - k \int_a^b u \mu = (\int_a^b u \psi) - kC = \\ = \int_a^b u \psi - UC = \int_a^b (u - C) \psi$$

Perciò il lemma fondamentale, $u - C = 0$ \square

Def. Sia $u \in L^1(a,b)$, $v \in L^1(a,b)$

Si dice **dérivata debole** di u se

$$\int_a^b u \varphi' = - \int_a^b v \varphi \quad \forall \varphi \in C_c^\infty(a,b)$$

Oss Se $u \in C^1$, allora $\int_a^b u \varphi' = - \int_a^b u' \varphi \Rightarrow v = u'$

Lemma La dérivata debole, se esiste, è unica.

DIMOSTRAZIONE

Siamo v, w dérivate deboli di u :

$$\forall \varphi \in C_c^\infty \quad \int_a^b u \varphi' = - \int_a^b v \varphi = - \int_a^b w \varphi$$

$$\Rightarrow \int_a^b (v - w) \varphi = 0 \Rightarrow v = w \quad \square$$

NOTAZIONE Se v è la dérivata debole di u , scriveremo $v = u'$

spazi di Sobolev 1D

Sia $p \in [1, +\infty]$

$$W^{1,p}(a,b) = \{u \in L^p(a,b) : \exists v \in L^1(a,b) \text{ t.c. } u' = v\}$$

$$\|u\|_{1,p} = \sqrt{\|u\|_{L^p}^2 + \|u'\|_{L^p}^2} \quad (\text{è equivalente a } \|u\|_p + \|u'\|_p)$$

Se $p=2$, $W^{1,2}$ è uno spazio euclideo.

teorema $W^{1,p}$ è uno spazio di Banach.
Quindi $W^{1,2}$ è uno spazio di Hilbert.

DIMOSTRAZIONE

Sia $(u_k) \subset W^{1,p}$ di Cauchy

$\Rightarrow (u_k), (u'_k) \subset L^p$ sono di Cauchy

$\Rightarrow u_k \rightarrow u$ in L^p , $u'_k \rightarrow v$ in L^p

Mostriamo che $u' = v$

$$\forall \varphi \in C_c^\infty \quad 0 = \int_a^b u_k \varphi' + u'_k \varphi \xrightarrow{k \rightarrow \infty} \int_a^b u \varphi' + v \varphi$$

poiché $u_k \varphi' \xrightarrow{k \rightarrow \infty} u \varphi'$, $u'_k \varphi \xrightarrow{k \rightarrow \infty} v \varphi$ □

OSS Se $-\infty < a < b < +\infty$

$$W^{1,p}(a,b) \subset W^{1,q}(a,b) \quad \forall p > q$$

$$C'([a,b]) \subset W^{1,p}(a,b) \quad \forall p$$

ESEMPIO $u(x) = |x|$, $v(x) = \frac{x}{|x|}$ $u, v \in L^\infty$

$$\int_a^b u \varphi' + v \varphi = \int_a^0 -x \varphi' + (-x) \varphi + \int_0^b x \varphi' + x \varphi = - \int_a^0 (x \varphi)' + \int_0^b (x \varphi)' =$$

$$a < 0 < b = -[x \varphi]_a^0 + [x \varphi]_0^b = -0 \cdot \varphi(0) + 0 \cdot \varphi(a) + b \cdot \varphi(b) - 0 \cdot \varphi(0) = 0$$

$$u, v \in L^p \quad \forall p \in [1, +\infty] \Rightarrow u \in W^{1,p}, v \in C'([a,b]) \quad \text{se } a < b$$

ESEMPIO $u(x) = \sqrt{x}$, $v(x) = \frac{1}{2\sqrt{x}}$ $u: [0, b] \rightarrow \mathbb{R}$

$$\exists \varepsilon > 0: Q=0 \text{ su } [0, \varepsilon] \Rightarrow \varphi' = 0 \text{ su } [0, \varepsilon]$$

$$\int_0^b \sqrt{x} \varphi' + \frac{1}{2\sqrt{x}} \varphi = \int_\varepsilon^b (\sqrt{x} \varphi')' = \sqrt{b} \varphi(b) - \sqrt{\varepsilon} \varphi(\varepsilon) = 0$$

$$u \in L^p \quad \forall p \in [1, +\infty]$$

$$v \in L^p \quad \forall p \in [1, 2] \Rightarrow u \in W^{1,p} \quad \forall p \in [1, 2]$$

Lemma Sia $v \in L^1([a,b])$, $u(x) = \int_a^x v$.

Allora $u' = v$.

(Nota: $u \in C^1$)

DIMOSTRAZIONE

Sia $\varphi \in C_c^\infty(a,b)$

$$\int_a^b u \varphi' = \int_a^b \int_a^x v(y) dy \varphi'(x) dx \stackrel{FT}{=} \iint_{\substack{0 \leq y \leq x \\ a \leq x \leq b}} v(y) \varphi'(x) dx dy =$$

$$\stackrel{FT}{=} \int_a^b \int_y^b \varphi'(x) dx v(y) dy = \int_a^b -\varphi(y) v(y) dy = - \int_a^b v \varphi$$

□

Lemma Se $u \in W^{1,1}(a,b)$ allora $\exists c$ t.c.
 $\forall x \in (a,b) : u(x) = \int_a^x u'(y) dy + c$.

DIMOSTRAZIONE

$$\text{Sia } w(x) = \int_a^x u'$$

Per il lemma precedente, $w' = u'$

Dobbiamo mostrare che $w - u$ è costante q.o.

Vogliamo usare il lemma di Du Bois Reymond

Sia $\varphi \in C_c^\infty(a,b)$:

$$\begin{aligned} \int_a^b (u - w)\varphi' &= \int_a^b u\varphi' - \int_a^b w\varphi' = - \int_a^b u'\varphi + \int_a^b w'\varphi = \int_a^b (w' - u')\varphi = 0 \\ \Rightarrow u - w &= \text{costante} \end{aligned}$$

□

corollario Se $u \in W^{1,1}(a,b)$, allora $u(x) = \int_a^x u'(y) dy + c$,
 quindi $u = \tilde{u}$ q.o., $\tilde{u} \in C^\circ$.

Vogliamo dire un po' di più.

Def. $u: [a,b] \rightarrow \mathbb{R}$ si dice **assolutamente continua** se

$\forall \varepsilon > 0 \ \exists \delta > 0$ t.c. se $I_k = (a_k, b_k)$, $k=1, \dots, N$ intervalli disgiunti con $\sum_{k=1}^N |b_k - a_k| < \delta$, allora $\sum_{k=1}^N |u(b_k) - u(a_k)| < \varepsilon$.

Si scrive $u \in AC(a,b)$.

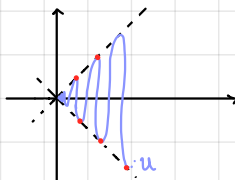
Se $N=1$, questa è la definizione di uniforme continuità

$$AC(a,b) \subseteq C^\circ(a,b)$$

ESEMPIO $u \in C^\circ([0,1]) \setminus AC(0,1)$

$$u(x) = \begin{cases} x \cos \frac{1}{x} & \text{se } x \neq 0 \\ 0 & \text{se } x=0 \end{cases}$$

$$[a_k, b_k] = \left[\frac{1}{(2k+1)\pi}, \frac{1}{2k\pi} \right] : \cos \frac{1}{a_k} = -1 \\ \cos \frac{1}{b_k} = 1$$



$$|b_k - a_k| = \frac{2k+1-2k}{(2k+1)2k\pi} = \frac{1}{(4k^2+2k)\pi} \sim \frac{1}{4\pi k^2}$$

$$|u(b_k) - u(a_k)| = b_k - a_k = \frac{4k+1}{(4k^2+2k)\pi} \sim \frac{1}{\pi k}$$

$$\sum_{k=1}^{\infty} |b_k - a_k| = \sum_{k=1}^{\infty} \frac{1}{(4k^2+2k)\pi} \text{ è convergente}$$

$$\Rightarrow \forall \delta > 0 \ \exists n : \sum_{k=n}^{\infty} \frac{1}{(4k^2+2k)\pi} < \delta$$

$$\text{ma } \sum_{k=1}^{\infty} |u(b_k) - u(a_k)| = +\infty$$

$$\text{Scelto } \varepsilon = 1, \exists N \text{ t.c. } \sum_{k=N}^{\infty} |u(b_k) - u(a_k)| > \varepsilon$$

Oss $u \in \text{lip}([a,b]) \Rightarrow u \in AC$

Infatti $|u(x) - u(y)| \leq L|x-y|$

$$\sum_{k=1}^n |u(b_k) - u(a_k)| \leq L \sum_{k=1}^n |b_k - a_k| \leq L\delta < \varepsilon \quad \text{se } \delta < \frac{\varepsilon}{L}$$

□

Esempio $u \in AC([0,1]) \setminus \text{dip}([0,1])$

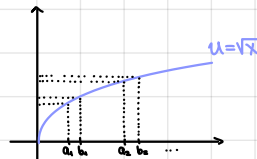
$$u(x) = \sqrt{x} \notin \text{dip}([0,1])$$

u è concava, crescente e continua

Fissato h , $u(x+h) - u(x)$ è decrescente in x

$$\sum_{k=1}^n |u(b_k) - u(a_k)| \leq u\left(\sum_{k=1}^n (b_k - a_k)\right) - u(0) \leq u(\delta) - u(0)$$

ma u è continua in 0 $\Rightarrow \forall \varepsilon > 0 \exists \delta : u(\delta) - u(0) \leq \varepsilon$



FATTO $\text{dip} \cong W^{1,\infty} \subseteq W^{1,p} \subseteq W^{1,1} \cong AC$

C^{α} con $\alpha = 1 - \frac{1}{p}$

Teorema Se $u \in W^{1,p}(a,b)$. Allora $\exists \tilde{u}$ t.c.

$$u = \tilde{u} \text{ q.o. e } \tilde{u}(y) - \tilde{u}(x) = \int_x^y u' \quad \forall x, y \in [a, b].$$

In particolare $\tilde{u} \in AC([a,b])$.

DIMOSTRAZIONE

$$\tilde{u}(x) = \int_a^x u' \implies \tilde{u}' = u' \implies \tilde{u} = u + k \text{ q.o.}$$

$u = \tilde{u} - k = \tilde{u}$ continua, e $\tilde{u}(y) - \tilde{u}(x) = (\int_a^y u' - k) - (\int_a^x u' - k) = \int_x^y u'$

$$\text{Ora } \sum_{k=1}^n |\tilde{u}(b_k) - \tilde{u}(a_k)| = \sum_{k=1}^n \left| \int_{a_k}^{b_k} u' \right| \leq \sum_{k=1}^n \int_{a_k}^{b_k} |u'| = \int_{[a,b]} |u'|$$

Absoluta continuità dell'integrale: se $f \in L^1$

$$\forall \varepsilon > 0 \exists \delta > 0 : |A| < \delta \implies \int_A f < \varepsilon$$

Questo conclude, poiché $u' \in L^1$

□

Teorema Se $u \in AC([a,b])$, allora $u \in W^{1,1}(a,b)$.

Teorema Se $u \in W^{1,\infty}(a,b)$, allora $\exists \tilde{u}$ t.c.

$$u = \tilde{u} \text{ q.o. e } \tilde{u} \in \text{dip}([a,b]).$$

DIMOSTRAZIONE

$$\exists \tilde{u} \text{ t.c. } \tilde{u}(y) - \tilde{u}(x) = \int_x^y u', \quad u' \in L^\infty$$

$$|\tilde{u}(y) - \tilde{u}(x)| \leq \int_x^y |u'| \leq \|u'\|_{L^\infty} |y-x|$$

$$\implies \tilde{u} \text{ è L-Lipschitz con } L = \|u'\|_{L^\infty}$$

□

Teorema Se $u \in \text{dip}([a,b])$, allora $u \in W^{1,\infty}(a,b)$.

Teorema Se $u \in W^{1,p}(a,b)$, $1 < p < \infty$, allora

$$\exists \tilde{u} \text{ t.c. } u = \tilde{u} \text{ q.o. e } \tilde{u} \in C^{\alpha} \text{ con } \alpha = 1 - \frac{1}{p}.$$

DIMOSTRAZIONE

$$\exists \tilde{u} \text{ t.c. } \tilde{u}(y) - \tilde{u}(x) = \int_x^y u' - \frac{1}{p} + \frac{1}{q} = 1$$

$$\implies |\tilde{u}(y) - \tilde{u}(x)| \leq \int_x^y |u'| \leq \|u'\|_{L^p(a,b)} \cdot \|1\|_{L^q(a,b)} \leq \|u'\|_{L^p} \left(\int_x^y 1^p \right)^{\frac{1}{p}} = \|u'\|_{L^p} |y-x|^{\frac{1}{p}}$$

□

In più variabili, dato $\Omega \subseteq \mathbb{R}^n$ aperto regolare con $|\Omega| < \infty$, si ha

$$W^{m,p} \hookrightarrow C^{k_1, k_2} \quad \text{per } k < m - \frac{n}{p}$$

(è il Teorema delle immersioni di Sobolev)

Def. Sia $L = L(x, y, z)$, $x, y, z \in \mathbb{R}$

L si dice di **Carathéodory** se

- (1) $\forall y, z \quad x \mapsto L(x, y, z)$ è Lebesgue misurabile
- (2) $\forall x \quad (y, z) \mapsto L(x, y, z)$ è continua

teorema Sia $L = L(x, y, z)$ di Carathéodory e siano $u = u(x)$, $v = v(x)$ misurabili. Allora $x \mapsto L(x, u(x), v(x))$ è misurabile.

Dim vedi lez. II anno scorso

Def. Sia $L : V \subseteq W^{1,p}(a, b) \rightarrow \mathbb{R}$, $V + C_c^\infty \subseteq V$

u si dice **minimo debole** di L se

$$\exists \delta > 0 \text{ t.c. } L(u) \leq L(u + \varphi) \quad \forall \varphi \in C_c^\infty((a, b)) \text{ con } \|\varphi\|_\infty + \|\varphi'\|_\infty \leq \delta$$

Oss Se u è un minimo debole di L allora

$$\forall \varphi \in C_c^\infty((a, b)) \text{ si ha che } \exists \varepsilon > 0 \text{ t.c.}$$

$$L(u) \leq L(u + \varepsilon \varphi) \quad \forall \varepsilon \in (-\varepsilon_0, \varepsilon_0)$$

$$\text{Infatti } \|\varepsilon \varphi\|_\infty + \|\varepsilon \varphi'\|_\infty = \varepsilon_0 (\|\varphi\|_\infty + \|\varphi'\|_\infty) \leq \delta \text{ se } \varepsilon_0 \text{ è abbastanza piccolo}$$

Oss Se u è un minimo assoluto di L , cioè

$$L(u) \leq L(u + \varphi) \quad \forall \varphi \in C_c^\infty$$

allora u è un minimo debole.

Teorema:
equazione di Eulero-Lagrange

Sia $L = L(x, y, z)$, $x \in [a, b]$, $y, z \in \mathbb{R}$.

Supponiamo che $\forall x \in [a, b] \quad \exists \frac{\partial L}{\partial y}(x, y, z), \frac{\partial L}{\partial z}(x, y, z)$, e

(i) $L, \frac{\partial L}{\partial y}, \frac{\partial L}{\partial z}$ sono di Carathéodory (ipotesi di struttura)

(ii) $\exists C > 0 \quad \forall x \in [a, b]$ (ipotesi di crescita)

$$\left| \frac{\partial L}{\partial y}(x, y, z) \right| + \left| \frac{\partial L}{\partial z}(x, y, z) \right| \leq C(1 + |y|^p + |z|^p)$$

Consideriamo $\mathcal{L}(u) = \int_a^b L(x, u(x), u'(x)) dx$.

Sia $u \in W^{1,p}(a, b)$ tale che $\mathcal{L}(u) \in \mathbb{R}$, u minimo debole.

Allora $\frac{\partial L}{\partial z}(x, u(x), u'(x)) \in W^{1,p}(a, b)$ e

$$\frac{d}{dx} \frac{\partial L}{\partial z}(x, u(x), u'(x)) = \frac{\partial L}{\partial y}(x, u(x), u'(x)).$$

DIMOSTRAZIONE

Sia $\varphi \in C_c^\infty((a, b))$, $\varepsilon \in \mathbb{R}$

$$\begin{aligned} \frac{1}{\varepsilon} (\mathcal{L}(u + \varepsilon \varphi) - \mathcal{L}(u)) &= \frac{1}{\varepsilon} \int_a^b [L(x, u(x) + \varepsilon \varphi(x), u'(x) + \varepsilon \varphi'(x)) - L(x, u(x), u'(x))] dx \\ (*) \quad \frac{1}{\varepsilon} [L(x, u(x) + \varepsilon \varphi(x), u'(x) + \varepsilon \varphi'(x)) - L(x, u(x), u'(x))] &= \frac{L(x, u + \varepsilon \varphi, u' + \varepsilon \varphi') - L(x, u, u' + \varepsilon \varphi') + L(x, u, u' + \varepsilon \varphi) - L(x, u, u')}{\varepsilon} = \\ &= \frac{\partial L}{\partial y}(x, u + \varepsilon \varphi, u' + \varepsilon \varphi') \cdot \varphi(x) + \frac{\partial L}{\partial z}(x, u, u' + \varepsilon \varphi') \cdot \varphi'(x) \end{aligned}$$

con $|t|, |\tau| < \varepsilon$

$$\left| \frac{\partial L}{\partial z}(x, u, u' + \varepsilon \varphi') \right| \stackrel{(ii)}{\leq} C(1 + |u|^p + |u'| + |\varepsilon \varphi'|^p) \leq \dots$$

Oss $|a+b|^p \leq \begin{cases} |2a|^p & se |a|>|b| \\ |2b|^p & se |b|>|a| \end{cases} \leq |2a|^p + |2b|^p = 2^p(|a|^p + |b|^p)$

Quindi $|u'+\tau\varphi'|^p \leq 2^p(|u'|^p + |\tau|^p |Q'|^p) \leq C'(1+|u'|^p)$

$\dots \leq C''(1+|u|^p + |u'|^p) \in L^1(a,b)$ stima uniforme in ε

Similmente $\left|\frac{\partial L}{\partial z}(x, u+\varepsilon\varphi, u'+\varepsilon\varphi')\right| \leq C''(1+|u|^p + |u'|^p) \in L^1(a,b)$

Quindi $L(u) \in \mathbb{R}$ e $\int L(x, u+\varepsilon\varphi, u'+\varepsilon\varphi') - L(x, u, u') dx \in \mathbb{R} \Rightarrow L(u+\varepsilon\varphi) \in \mathbb{R}$

$\underline{\frac{L(u+\varepsilon\varphi) - L(u)}{\varepsilon}} = \int_a^b * = \int_a^b \frac{\partial L}{\partial x}(x, u+\varepsilon\varphi, u'+\varepsilon\varphi') Q + \frac{\partial L}{\partial z}(x, u, u'+\varepsilon\varphi') Q' dx$
e questo tende a $\frac{\partial L}{\partial x}(x, u, u') Q + \frac{\partial L}{\partial z}(x, u, u') Q'$

Possiamo applicare convergenza dominata:

$$\lim_{\varepsilon \rightarrow 0} \frac{L(u+\varepsilon\varphi) - L(u)}{\varepsilon} = \int_a^b \frac{\partial L}{\partial x}(x, u, u') Q + \frac{\partial L}{\partial z}(x, u, u') Q' = \frac{d}{d\varepsilon} L(u+\varepsilon\varphi)|_{\varepsilon=0} = 0$$

(EL in forma integrale) poiché u è un minimo debole

Quindi $\forall \varphi \in C_c^\infty \int_a^b u\varphi + v\varphi' = 0$, cioè $\int_a^b u\varphi = - \int_a^b v\varphi'$

che equivale a $v' = u$, con $u, v \in L^1 \Rightarrow v \in W^{1,1}$

Quindi $\frac{\partial L}{\partial z}(x, u(x), u'(x)) \in W^{1,1}(a,b)$ e vale (E-L). □

Teorema Sia $L = L(x, y, z)$, $L \in C^\infty$, $u \in W^{1,p}(a,b)$, $p > 1$, t.c.

- $\frac{\partial L}{\partial z}(x, u(x), u'(x)) \in W^{1,1}$

$z \mapsto L(x, y, z)$ convessa e derivabile $\forall x, \forall y$

$$L(x, y, z) \geq \alpha|z|^p - \varphi(y) \text{ con } \alpha > 0, \varphi \in C^\infty$$

Allora $u \in W^{1,\infty}(a,b) \cong Lip([a,b])$.

DIMOSTRAZIONE

$$\begin{aligned} L(x, y, \cdot) \text{ convessa} \Rightarrow L(x, y, 0) &\geq L(x, y, z) - z \frac{\partial L}{\partial z}(x, y, z) \\ \Rightarrow z \frac{\partial L}{\partial z}(x, y, z) &\geq L(x, y, z) - L(x, y, 0) \geq \alpha|z|^p - \varphi(y) - L(x, y, 0) \end{aligned}$$

Ora per $y = u(x)$, $z = u'(x)$:

$$u'(x) \frac{\partial L}{\partial z}(x, u(x), u'(x)) \geq \alpha|u'(x)|^p - \underbrace{\varphi(u(x)) - L(x, u(x), 0)}_{C([a,b]): \text{è limitato}} \geq \alpha|u'(x)|^p - C$$

$$\Rightarrow C + |u'(x)| \left| \frac{\partial L}{\partial z}(x, u(x), u'(x)) \right| \geq \alpha|u'(x)|^p$$

$W^{1,1} \subseteq L^\infty$

Dove $|u'(x)| \geq 1$: $|u'(x)| (C + \left| \frac{\partial L}{\partial z}(x, u(x), u'(x)) \right|)_\infty \geq \alpha|u'(x)|^p$

quindi $|u'(x)|^p \leq C'$

Dove $|u'(x)| \leq 1$, vale a maggior ragione $|u'(x)| \leq C'$

$\Rightarrow |u'(x)|$ è limitata $\Rightarrow u \in W^{1,\infty}$ □

teorema Sia $L = L(x, y, z)$, $L \in C^0$, $u \in \text{Lip}([a, b])$ t.c.

- $\frac{\partial L}{\partial z}(x, u(x), u'(x)) \in C^0$
- $z \mapsto \frac{\partial L}{\partial z}(x, y, z)$ iniettiva $A(x, y)$
- $\frac{\partial L}{\partial z}(x, u(x), u'(x)) \in C^0$

Allora $u \in C'([a, b])$

DIMOSTRAZIONE

Rademacher: $u \in \text{Lip} \Rightarrow u'(x)$ esiste per a.o.x

$$\frac{\partial L}{\partial z}(x, u(x), u'(x)) = g(x) \quad \forall x, g \in C^0([a, b])$$

Sia $E = \{x \in [a, b] : \exists u(x), \frac{\partial L}{\partial z}(x, u(x), u'(x)) = g(x)\}$: $|(a, b) \setminus E| = 0 \Rightarrow E$ è denso

Claim $\forall x \in [a, b]$, se $x_k, x_l \in E$, $x_k \rightarrow x$, $x_l \rightarrow x$, $u'(x_k) \rightarrow v$, $u'(x_l) \rightarrow w$
allora $v = w$ e $\frac{\partial L}{\partial z}(x, u(x), v) = g(x)$

$$\frac{\partial L}{\partial z}(x_k, u(x_k), u'(x_k)) = g(x_k)$$

$$\downarrow \quad \downarrow$$

$$\frac{\partial L}{\partial z}(x, u(x), v) = g(x)$$

$$\text{ma anche } \frac{\partial L}{\partial z}(x, u(x), w) = g(x) \implies v = w.$$

Posso definire $v(x)$. Preso $x_k \in E$, $x_k \rightarrow x$, $u'(x_k)$ è limitata ($u \in \text{Lip}$)

$$\Rightarrow \exists k_j \text{ t.c. } u'(x_{k_j}) \rightarrow v \text{ (non dipende dalla successione scelta)}$$

$$\text{dunque } v(x) = \lim_{\substack{x \rightarrow x \\ t \in E}} u'(t)$$

Ovviamente $v(x) = u'(x)$ se $x \in E \Rightarrow v(x) = u'(x) \quad \forall x$

$$\text{e } \forall x \in [a, b] \quad \frac{\partial L}{\partial z}(x, u(x), v(x)) = g(x)$$

Claim $v \in C^0$

Fissato $x \in [a, b]$, $\forall x_k \rightarrow x$ devo mostrare che $v(x_k) \rightarrow v(x)$

v limitata $\Rightarrow \exists k_j \exists w$ t.c. $v(x_{k_j}) \rightarrow w$

$$\frac{\partial L}{\partial z}(x_{k_j}, u(x_{k_j}), v(x_{k_j})) = g(x_{k_j})$$

$$\downarrow$$

$$\frac{\partial L}{\partial z}(x, u(x), w) = g(x)$$

$$\text{ma anche } \frac{\partial L}{\partial z}(x, u(x), v(x)) = g(x) \implies v(x) = w \implies v \in C^0$$

Quindi $v(x) = v(x) \quad \forall x \in [a, b]$

$$v(x) = \int_a^x u(t) dt, v \in C^1 \text{ perché } v \in C^0$$

$$v'(x) = v(x) = u'(x) \quad \forall x \implies u = v + c \quad \forall x \stackrel{u \in C^0}{\implies} u \in C^1$$

□

teorema Sia $L = L(x, y, z)$, $L \in C^k$, $2 \leq k \leq +\infty$, $u \in C^1$ t.c.

u soddisfa (EL) in senso debole;

$$\cdot \frac{\partial^2 L}{\partial z^2}(x, u(x), u'(x)) > 0 \quad \forall x \in [a, b].$$

Allora $u \in C^k([a, b])$.

DIMOSTRAZIONE

$$k=2 : H(x, z) = \frac{\partial L}{\partial z}(x, u(x), z) - \int_a^x \underbrace{\frac{\partial L}{\partial y}(t, u(t), \overset{C^1}{u'(t)})}_{C^1} dt \in C^1$$

$$\frac{d}{dx} H(x, u'(x)) = \frac{d}{dx} \frac{\partial L}{\partial z}(x, u(x), u'(x)) - \frac{\partial L}{\partial y}(x, u(x), u'(x)) = 0$$

distribuita debole

$\Rightarrow H(x, u'(x))$ è costante q.o., ma è $C^0 \Rightarrow$ è costante

$(x, u'(x))$ è contenuto in un insieme di livello di H

Vogliamo applicare il Teorema del Dini

$$H \in C^1, \frac{\partial H}{\partial x}(x, z) = \frac{\partial^2 L}{\partial x \partial z}(x, u(x), z) + u'(x) \frac{\partial^2 L}{\partial y \partial z}(x, u(x), z) - \frac{\partial L}{\partial y}(x, u(x), u'(x))$$

$$\frac{\partial H}{\partial z}(x, z) = \frac{\partial^2 L}{\partial z^2}(x, u(x), z)$$

$$\frac{\partial^2 H}{\partial z^2}(x, u'(x)) = \frac{\partial^2 L}{\partial z^2}(x, u(x), u'(x)) > 0$$

Quindi, fissato $x_0 \in (a, b)$, c'è un intorno di x_0 in cui

la curva $(x, u'(x))$ è un grafico C' : $\exists ! z \in C'$ t.c. $u'(x) = z(x)$

$$\Rightarrow u' \in C^1, H(x, u'(x)) = \text{costante} \Rightarrow u \in C^2$$

$$\downarrow \frac{du}{dx}$$

$$\frac{\partial H}{\partial x}(x, u'(x)) + u''(x) \frac{\partial H}{\partial z}(x, u'(x)) = 0$$

$$\Rightarrow u''(x) = - \frac{\frac{\partial H}{\partial x}(x, u'(x))}{\frac{\partial H}{\partial z}(x, u'(x))} = - \frac{\frac{\partial^2 L}{\partial x \partial z}(x, u(x), u'(x)) + \frac{\partial^2 L}{\partial y \partial z}(x, u(x), u'(x)) - \frac{\partial L}{\partial y}(x, u(x), u'(x))}{\frac{\partial^2 L}{\partial z^2}(x, u(x), u'(x))}$$

Poi si fa Bootstrap per $k > 2$:

$$u \in C^k, L \in C^{k+1} \Rightarrow u'' \in C^{k-1} \Rightarrow u \in C^{k+1}$$

□

METODO DIRETTO

$$L(u) = \int_I L(x, u(x), u'(x)) dx$$

Cerchiamo $\min \{L(u) : u \in A\}$

con A classe di funzioni con una nozione di convergenza

(1) $u_n \in A$ successione minimizzante

$$L(u_n) \rightarrow \inf L, \text{ in particolare } L(u_n) \leq L$$

$\exists u_{n_k} \rightarrow u \in A$ (compattezza)

scelta di A + ipotesi su L

$$(2) L(u) \leq \liminf L(u_{n_k}) \quad (\text{semicontinuità})$$

ipotesi su L

$$(3) u \text{ min in } A \Rightarrow u \in \text{dip}, u \in C^1 \circ u \in C^k$$

ipotesi su L

esempi di A : $C^1(I)$, $\text{dip}(I)$, $W^{1,p}(I)$, $AC(I) = W^{1,1}(I)$

con eventuali vincoli o condizioni al bordo

Elementi di analisi funzionale

Def. E spazio di Banach (cioè E spazio vettoriale normato e completo)

E^* spazio duale

$$E^* = \{u: E \rightarrow \mathbb{R} \text{ lineari e continue}\}$$

$$\text{con } \|u\|_{E^*} = \sup_{\|x\|_E \leq 1} |u(x)| = \sup_{x \neq 0} \frac{|u(x)|}{\|x\|_E}$$

E^* è uno spazio vettoriale normato

proposizione E^* è uno spazio di Banach.

DIMOSTRAZIONE

$u_n \subseteq E^*$ di Cauchy: $\forall \varepsilon > 0 \exists n_\varepsilon \text{ t.c. } \|u_n - u_m\|_{E^*} \leq \varepsilon \quad \forall n, m \geq n_\varepsilon$,

$$\text{cioè } |u_n(x) - u_m(x)| \leq \varepsilon \|x\|_E \quad \forall n, m \geq n_\varepsilon \quad \forall x \in E$$

In particolare $u_n(x)$ è di Cauchy in $\mathbb{R} \Rightarrow u_n(x) \xrightarrow{n \rightarrow \infty} u(x)$

$$u(ax+by) = \lim u_n(ax+by) = \lim a u_n(x) + b u_n(y) = au(x) + bu(y)$$

quindi u è lineare

u_n di Cauchy $\Rightarrow u_n$ limitata, cioè $|u_n(x)| \leq C \|x\|_E \quad \forall n, \forall x$

$$\Rightarrow |u(x)| \leq C \|x\|_E \quad \forall x \Rightarrow u \in E^*$$

$$\lim_{n \rightarrow \infty} |u_n(x) - u_m(x)| = |u_n(x) - u(x)| \leq \varepsilon \|x\|_E \quad \forall x$$

$$\Rightarrow u_n \rightarrow u \text{ in } E^*$$

□

Oss $u \in E^* : |u(x) - u(y)| = |u(x-y)| \leq \|u\|_{E^*} |x-y|$

$\Rightarrow u$ è lipschitz di costante $\|u\|_{E^*}$

Oss $E = \mathbb{R}^n$. $u \in \mathbb{R}^{n*} \iff \exists v \in \mathbb{R}^n : u(v) = \langle v, x \rangle$

$$\Rightarrow \mathbb{R}^{n*} \cong \mathbb{R}^n$$

Lo stesso vale in spazi di Hilbert (Teorema di Riesz)

Oss $\dim_{\mathbb{R}} E = \infty \Rightarrow \exists u: E \rightarrow \mathbb{R}$ lineare non continua

Possiamo munire E di una topologia debole, cioè con meno aperti ma più compatti rispetto alla topologia usuale.

Def. $\sigma(E, E^*)$ è la topologia meno fine che rende continue le funzioni $u \in E^*$

Una base di intorni di 0 sono gli aperti del tipo

$$\{u_i((-\varepsilon_i, \varepsilon_i)) \mid u_i \in E^*, \varepsilon_i > 0\}$$

$$\forall \text{ aperto in } \sigma(E, E^*) \Rightarrow V = \bigcup_{j \in J} (U_j + x_j) \text{ con } x_j \in E, U_j \text{ come sopra}$$

Lemma $x_n \xrightarrow{n} x$ rispetto a $\sigma(E, E^*) \iff u(x_n) \xrightarrow{n} u(x) \quad \forall u \in E^*$
 $(x_n \text{ converge debolmente a } x)$

Oss Se $x_n \rightarrow x$, allora $x_n \xrightarrow{n} x$; non è vero il viceversa se $\dim E = +\infty$.

Oss Se $\dim E < +\infty$, $\sigma(E, E^*)$ è la topologia forte

Esempio $\ell^2 = \{(x_n) : \sum_n |x_n|^2 < +\infty\} \quad \|x\|_{\ell^2} = \sqrt{\sum_n |x_n|^2}$ spazio di Hilbert ($\ell^{2*} \cong \ell^2$)
dove $\langle x, y \rangle = \sum_n x_n y_n$
 $e_i = (0, \dots, \overset{i}{1}, \dots, 0, \dots)$ base canonica
 $e_i \xrightarrow{i} 0$ ma $\|e_i\|_{\ell^2} = 1$, quindi $e_i \not\rightarrow 0$

Esempio $L^p = \{(x_n) : \sum_n |x_n|^p < +\infty\} \quad \|x\|_{L^p} = \left(\sum_n |x_n|^p \right)^{\frac{1}{p}} \quad 1 \leq p < +\infty$
 $L^\infty = \{(x_n) : \sup_n |x_n| < +\infty\} \quad \|x\|_{L^\infty} = \sup_n |x_n|$
 $L^{p*} \cong L^q \text{ con } \frac{1}{p} + \frac{1}{q} = 1$

Esempio $L^p(\Omega) = \{u : \Omega \rightarrow \mathbb{R} \text{ misurabile, } \int_{\Omega} |u|^p < +\infty\} / \sim, \quad \Omega \subseteq \mathbb{R}^n \text{ aperto}$
 $\|u\|_{L^p} = \left(\int_{\Omega} |u|^p \right)^{\frac{1}{p}}$
 $L^\infty(\Omega) = \{u : \Omega \rightarrow \mathbb{R} \text{ misurabile, } \text{esssup}_{x \in \Omega} |u(x)| < +\infty\} / \sim$
 $\|u\|_{L^\infty} = \text{esssup}_{x \in \Omega} |u(x)|$
 $L^{p*} \cong L^q \text{ per } 1 \leq p < +\infty \text{ con } \frac{1}{p} + \frac{1}{q} = 1$

Def. E^{**} è l'biduale di E .

Esiste $i : E \rightarrow E^{**}$ immersione lineare iniettiva

$$i(x)(u) = u(x) \quad \forall x \in E, \forall u \in E^*$$

$i(E) \subset E^{**}$ è chiuso

Se $i(E) = E^{**}$, E si dice spazio riflessivo.

Oss Se $E = H$ Hilbert, allora E è riflessivo

Esempio ℓ^p, L^p sono riflessivi per $1 < p < +\infty$

$\ell^1, L^1, \ell^\infty, L^\infty$ non sono riflessivi

Esempio $C_0 = \{x_n : x_n \rightarrow 0\} \subset l^\infty : C_0^* = l^1, l^{1*} = l^\infty$

Def. E di Banach è separabile
se esiste $F \subseteq E$ denso e numerabile

Esempio $C_0, l^p (p < \infty), L^p(\Omega) (p < \infty)$ sono separabili
 $l^\infty, L^\infty(\Omega)$ non sono separabili

Def. E Banach

$\sigma(E^*, E)$ è la topologia meno fine su E^* che rende continue le funzioni $u \mapsto u(x) \forall x \in E$.

$\sigma(E^*, E)$ si dice **topologia debole***
ed è meno fine di $\sigma(E^*, E^{**})$ poiché $E \cong i(E) \subset E^{**}$

Teorema di Banach-Alaoglu sequenziale

E Banach separabile.

$u_n \in E^*$ con $\|u_n\|_{E^*} \leq C$

Allora $\exists u_n \xrightarrow{*} u \in E^*$ in $\sigma(E^*, E)$
cioè $u_n(x) \xrightarrow{*} u(x) \forall x \in E$.

DIMOSTRAZIONE

$\{x_j\} \subseteq E$ denso numerabile : $|u_n(x_j)| \leq \|u_n\|_{E^*} \|x_j\|_E \leq C \|x_j\|_E \forall n$

$\Rightarrow \exists u_{n_k} \text{ s.s.c. } u_{n_k}(x_1) \xrightarrow{*} u(x_1) \in \mathbb{R}$

$\Rightarrow \exists u_{n_k} \text{ s.s.c. } u_{n_k}(x_2) \xrightarrow{*} u(x_2) \in \mathbb{R}$

$\vdots \Rightarrow \exists u_{n_k} \text{ s.s.c. t.c. } u_{n_k}(x_j) \xrightarrow{*} u(x_j)$

Considero la successione $\tilde{u}_k = u_{n_k}$

Consideriamo che $\tilde{u}_k(x_j) \xrightarrow{k \rightarrow \infty} u(x_j) \forall j$

$$|u(x_j) - u(x_\ell)| = \lim_{k \rightarrow \infty} |u_k(x_j) - u_k(x_\ell)| \leq C \|x_j - x_\ell\|_E$$

$\Rightarrow u$ è C -Lipschitz $\Rightarrow \exists! \tilde{u} : E \rightarrow \mathbb{R}$ estensione C -Lipschitz di u

Inoltre $\tilde{u}(x) = \lim_{k \rightarrow \infty} \tilde{u}_k(x) \quad \forall x \in E$

$$\begin{aligned} |\tilde{u}(x) - \tilde{u}_k(x)| &\leq |\tilde{u}(x) - \tilde{u}(x_j)| + |\tilde{u}(x_j) - \tilde{u}_k(x_j)| + |\tilde{u}_k(x_j) - \tilde{u}_k(x)| \\ &\leq 2C \|x - x_j\| + |\tilde{u}(x_j) - \tilde{u}_k(x_j)| \end{aligned}$$

$\forall \varepsilon > 0 \exists j : |x - x_j| \leq \varepsilon$ ed $\exists k_\varepsilon \text{ t.c. } |\tilde{u}(x_j) - \tilde{u}_k(x_j)| \leq \varepsilon \quad \forall k \geq k_\varepsilon$

$$\Rightarrow |\tilde{u}(x) - \tilde{u}_k(x)| \leq (2C+1)\varepsilon \quad \forall k \geq k_\varepsilon$$

Ne segue che $\tilde{u} \in E^*$ e $\tilde{u}_k \xrightarrow{*} \tilde{u}$ in $\sigma(E^*, E)$

□

Oss E separabile, $B_R^{E^*} = \{u \in E^* \mid \|u\|_{E^*} < R\}$

$(B_R^{E^*}, \sigma(E^*, E))$ è metrizzabile

\Rightarrow La compattezza di $\overline{B_R^{E^*}}$ è equivalente alla compattezza sequenziale

Teorema di Banach-Alaoglu

E Banach.

Allora $\overline{B_E^*}$ è compatto per $\sigma(E^*, E)$.

corollario • $L^p \in L^p(\Omega)$ è riflessivo e separabile per $1 < p < \infty$,

con $(L^p(\Omega))^* = L^q(\Omega)$, con $\frac{1}{p} + \frac{1}{q} = 1$.

Allora le palle chiuse di L^p e $L^p(\Omega)$

sono sequenzialmente debolmente compatte.

• $L^\infty = L^{1*}$, $L^\infty = L^{1*}$, L' e L sono separabili

\Rightarrow le palle chiuse di L^∞ e L^∞ sono sequenzialmente debolmente compatte

• le palle chiuse di L' e L non sono sequenzialmente debolmente compatte

esempio in L' , la base canonica è

$$\exists x \in L' \text{ t.c. } e_n(y) = y_n \rightarrow \sum x_k y_k \text{ in } L^\infty$$

$$\text{ma } y = e_k : \forall n > k \quad e_n(y) = 0 = x_k \Rightarrow x = 0$$

$$\text{ma } y = \underline{1} : e_n(y) = 1 = \sum x_k = 0 \quad \leftarrow$$

ESISTENZA in $W^{1,p}$

Sia $1 < p < \infty$.

Sia $u_n \in W^{1,p}$ con $\|u_n\|_{W^{1,p}} \leq C$

Per Banach-Alaoglu sequenziale, $\exists u, v \in L^p$ t.c.

$u_n \rightharpoonup u$, $u'_n \rightharpoonup v$ debolmente in L^p

$$\int v \varphi = \lim \int u'_n \varphi = - \lim \int u_n \varphi = - \int u \varphi \quad \forall \varphi \in C_c(I)$$

$$\Rightarrow u \in W^{1,p} \text{ e } u' = v$$

Sceviamo $u_n \rightharpoonup u$ in $W^{1,p}$

proposizione Se $u_n \rightharpoonup u$ in $W^{1,p}$, allora

$$u_n \xrightarrow{U} u \text{ è in particolare } u_n \rightarrow u \text{ in } L^p.$$

DIMOSTRAZIONE

$$\|u_n\|_{W^{1,p}} \leq C \Rightarrow \|u_n\|_\infty \leq C \text{ e } u_n \text{ equi-Hölder} \Rightarrow \text{equivolte}$$

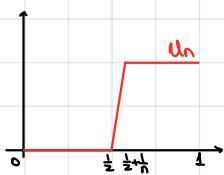
$$|u_n(x) - u_n(y)| \leq \int_x^y |u'_n(t)| dt \leq \|u'_n\|_p (\int_x^y 1^p)^{1/p} \leq C|x-y|^{1/p}$$

da tesi segue dal Teorema di Ascoli-Arzela

□

OSS $\exists u_n \in W^{1,1}$, $\|u_n\| \leq C$ t.c. $\lim u_n(x) = u(x)$ per q.o.x ma $u \notin W^{1,1}$

esempio



$$u_n(x) = \begin{cases} 0 & \text{se } 0 \leq x \leq \frac{1}{2} \\ nx - \frac{n}{2} & \text{se } \frac{1}{2} \leq x \leq \frac{1}{2} + \frac{1}{n} \\ 1 & \text{se } \frac{1}{2} + \frac{1}{n} \leq x \leq 1 \end{cases}$$

$$u(x) = \begin{cases} 0 & \text{se } 0 \leq x \leq \frac{1}{2} \\ 1 & \text{se } \frac{1}{2} < x \leq 1 \end{cases}$$

Teorema di esistenza

Sia $1 < p < +\infty$, $\mathcal{L}(u) = \int_I L(x, u(x), u'(x)) dx$ t.c.

- (1) L è di Caratheodory
- (2) $z \mapsto L(x, y, z)$ convessa $\forall x, y$
- (3) $L(x, y, z) \geq \alpha |z|^p + \beta$ $\alpha > 0$ (coerività)

Allora $\exists \min \mathcal{L}$ dove $A = \{u \in W_0^{1,p} : u - u_0 \in W_0^{1,p}, u_0 \text{ fissata}, \mathcal{L}(u_0) < +\infty\}$

Inoltre, se $(y, z) \mapsto L(x, y, z)$ è strettamente convessa $\forall x$,

allora il minimo è unico.

DIMOSTRAZIONE

Sia u_n scc. minimizzante, cioè $\mathcal{L}(u_n) \rightarrow \inf \mathcal{L} \leq \mathcal{L}(u_0) = C$

$$\mathcal{L}(u_n) \leq C \implies \int_I \alpha |u_n|_p^p + \beta \leq \mathcal{L}(u_n) \leq C$$

$$\implies \int_I |u_n|_p^p \leq C \implies \int_I |(u_n - u_0)|^p \leq C + \|u_0\|_p = C_2$$

$$\implies \|u_n - u_0\|_p \leq C_2 \implies \|u_n\|_p \leq C_4 \implies \|u_n\|_{W_0^{1,p}} \leq C^5$$

Pore Banach-Alaoglu, $\exists u \in A$ e n_k t.c. $u_{n_k} \rightharpoonup u$ in $W^{1,p}$.

Mostriamo che $\mathcal{L}(u) \leq \liminf \mathcal{L}(u_n) = \inf \mathcal{L}$

Rafforziamo le ipotesi:

- (1) $\forall x$ $(y, z) \mapsto L(x, y, z)$ è convessa, C' , e si ha

$$|L_y(x, y, z)| + |L_z(x, y, z)| \leq C(1 + |y|^{p-1} + |z|^{p-1})$$

$$\mathcal{L}(u_n) = \int_I L(x, u_n, u'_n) \geq \int_I L(x, u, u') + L_y(u_n - u) + L_z(u_n - u)$$

Se $(y, z) \mapsto L(x, y, z)$ è strettamente convessa

anche $u \mapsto \mathcal{L}(u)$ è strettamente convessa

\Rightarrow il minimo è unico.

□

Teorema di esistenza e regolarità

$\mathcal{L}(u) = \int_a^b L(x, u, u') dx$, $A = \{u \in W^{1,p} : u(a) = \alpha, u(b) = \beta\}$, $1 < p < +\infty$.

- (1) L continua e C' in (y, z)

$$(2) |L_y| + |L_z| \leq C(1 + |y|^{p-1} + |z|^{p-1})$$

- (3) $z \mapsto L(x, y, z)$ strettamente convessa

$$(4) L(x, y, z) \geq \psi(z) \text{ con } \psi \text{ superlineare,}$$

Allora esiste un minimo \bar{u} di \mathcal{L} in A e $\bar{u} \in C'$.

Oss Valg (EL): $\frac{d}{dx} [L_z(x, \bar{u}(x), \bar{u}'(x))] = L_y(x, \bar{u}(x), \bar{u}'(x))$

Teorema di esistenza di Tonelli

$\mathcal{L}(u) = \int_a^b L(x, u, u') dx$, $A = \{u \in W^{1,p} : u(a) = \alpha, u(b) = \beta\}$

- (1) L continua

- (2) L differenziale in z e L_z continua

- (3) $z \mapsto L(x, y, z)$ convessa

- (4) $L(x, y, z) \geq \psi(z)$ con ψ superlineare,

$$\text{cioè } \lim_{z \rightarrow \pm\infty} \frac{\psi(z)}{|z|} = +\infty$$

Allora esiste un minimo di \mathcal{L} in A .

Oss Non si applica a $\mathcal{L}(u) = \int \sqrt{1 + (u')^2} + g(u)$

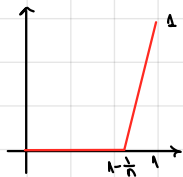
ESEMPIO

$$(1) \quad L(u) = \int_0^1 \sqrt{u^2 + u'^2} \quad A = \{u \in W^{1,1} : u(0)=0, u(1)=1\}$$

$$L(u) > \int_0^1 |u'| > \left| \int_0^1 u' \right| = 1 \quad \forall u \in A$$

Vediamo che $\inf L = 1 \Rightarrow \exists \min$

$$u_n(x) = \begin{cases} 0 & \text{se } x \in [0, 1 - \frac{1}{n}] \\ nx - n + 1 & \text{se } x \in [1 - \frac{1}{n}, 1] \end{cases}$$



$$L(u_n) = \int_{1-\frac{1}{n}}^1 \sqrt{(nx - n + 1)^2 + n^2} \leq \int_{1-\frac{1}{n}}^1 \sqrt{1+n^2} = \sqrt{1+\frac{1}{n^2}} \xrightarrow{n \rightarrow \infty} 1$$

$$(2) \quad L(u) = \int_0^1 x^2 u'^2 \quad A = \{u \in W^{1,2} : u(0)=1, u(1)=0\}$$

$$u_n = \begin{cases} 1 & \text{se } x \in [0, 1 - \frac{1}{n}] \\ -\frac{\log x}{\log n} & \text{se } x \in [1 - \frac{1}{n}, 1] \end{cases}$$

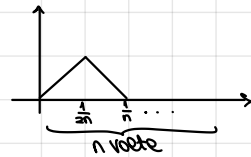
$$L(u_n) = \int_{1-\frac{1}{n}}^1 \frac{x^2}{x^2 (\log n)^2} \leq \frac{1}{(\log n)^2} \xrightarrow{n \rightarrow \infty} 0 \quad \text{ma } L(u) > 0 \quad \forall u \in A$$

$$(3) \quad (\text{Bolza}) \quad L(u) = \int_0^1 (1-u^2)^2 + u^2, \quad A = W_0^{1,2}$$

$$L(u) > 0 \quad \forall u \in A$$

$$u'_x = \pm 1, \quad \|u_n\|_{L^\infty} = \frac{1}{n} \xrightarrow{n \rightarrow \infty} 0$$

$$L(u_n) = \int_0^1 u_n^2 dx \leq \frac{1}{n^2} \xrightarrow{n \rightarrow \infty} 0$$



$$(4) \quad \int_0^1 u^2 + (u-f)^2 \text{ con } f \in L^2$$

$$A = \{u \in W^{1,2} : u(0)=\alpha, u(1)=\beta\} \quad \exists! \text{ min di } L \text{ in } A$$

se $f \in C^0 \Rightarrow \exists \text{ minimo } \in C^1 \text{ e si ha}$

$$\frac{d}{dx}(u) = u - f \Rightarrow u \in C^2 \text{ e verifica } u'' = u - f$$

$$(5) \quad (\text{Manica}) \quad L(u) = \int_0^1 (u^3 - x)^2 u'^6 \text{ non è convesso}$$

$$L(u) = 0 \iff u = \sqrt[3]{x} \in W^{1,p} \quad \forall p < \frac{3}{2}$$

$$u' = \frac{1}{3} x^{-\frac{2}{3}} \quad \int_0^1 |u'|^p \sim \int_0^1 \frac{1}{x^{2p/3}} dx < \infty \iff 2p < 3$$

Quindi $\exists \text{ min di } L \text{ in } W^{1,p} \quad \forall 1 \leq p < \frac{3}{2} \text{ e sol è } u(x) = \sqrt[3]{x} \in C^1$

Proposizione: $\exists c > 0 \text{ t.c. } \forall u \in A \text{ con } u(0)=0, u(1)=1, \text{ si ha}$
fenomeno di Laurentieff
 $L(u) \geq c > 0$

DIMOSTRAZIONE

$$u \in Lip, \quad u(0)=0, u(1)=1$$

$$0 < \alpha < \beta < 1 \quad \text{t.c. } u(\alpha) = \frac{\sqrt[3]{\alpha}}{2}, \quad u(\beta) = \frac{\sqrt[3]{\beta}}{2} \quad \sqrt[3]{x}/4 \leq u(x) \leq \sqrt[3]{x}/2 \quad \text{su } [\alpha, \beta]$$

$$L(u) = \int_0^1 (u^3 - x)^2 u'^6 \geq \int_\alpha^\beta x^2 \left(\frac{u^3 - x}{x} \right)^2 u'^6 \geq \left(\frac{7}{8} \right)^2 \int_\alpha^\beta x^2 u'^6$$

$$x \in [\alpha, \beta] \quad \frac{1}{8x} \leq \frac{u^3}{x} \leq \frac{1}{8}$$

$$\tilde{u}(y) = u(x), \quad y = x^{\frac{3}{5}}, \quad x = y^{\frac{5}{3}}, \quad dx = \frac{5}{3} y^{\frac{2}{3}} dy$$

$$u'(x) = \frac{3}{5} y^{-\frac{2}{3}} \tilde{u}'(y)$$

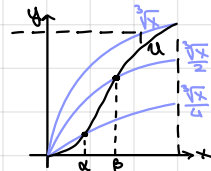
$$L(u) \geq \left(\frac{7}{8} \right)^2 \int_{\alpha^{\frac{3}{5}}}^{\beta^{\frac{3}{5}}} y^{10/3} \left(\frac{3}{5} \right)^6 y^{-12/3} \tilde{u}'^6 \frac{5}{3} y^{2/3} dy = k \int_{\alpha^{\frac{3}{5}}}^{\beta^{\frac{3}{5}}} \tilde{u}'^6 dy \quad \text{con } k = \left(\frac{7}{8} \right)^2 \left(\frac{3}{5} \right)^5$$

Per Jensen abbiamo:

$$L(u) \geq k (\beta^{\frac{3}{5}} - \alpha^{\frac{3}{5}}) \int_{\alpha^{\frac{3}{5}}}^{\beta^{\frac{3}{5}}} \tilde{u}'^6 dy \geq k (\beta^{\frac{3}{5}} - \alpha^{\frac{3}{5}}) \left(\int_{\alpha^{\frac{3}{5}}}^{\beta^{\frac{3}{5}}} \tilde{u}' dy \right)^6 = \frac{k}{(\beta^{\frac{3}{5}} - \alpha^{\frac{3}{5}})^5} (u(\beta) - u(\alpha))^6 =$$

$$= \frac{k}{(\beta^{\frac{3}{5}} - \alpha^{\frac{3}{5}})^5} \left(\frac{\beta^{\frac{1}{2}}}{2} - \frac{\alpha^{\frac{1}{2}}}{2} \right)^6 = \frac{k \beta^2 \left(\frac{1}{2} - \frac{1}{2} \left(\frac{\alpha}{\beta} \right)^{\frac{1}{2}} \right)^6}{\beta^3 \left(1 - \left(\frac{\alpha}{\beta} \right)^{\frac{3}{5}} \right)^5} = \frac{k}{2^6 \beta} \frac{\left(1 - \frac{1}{2} \left(\frac{\alpha}{\beta} \right)^{\frac{1}{2}} \right)^6}{\left(1 - \left(\frac{\alpha}{\beta} \right)^{\frac{3}{5}} \right)^5} \geq$$

$$\geq \frac{k}{2^6} \left(1 - \frac{1}{2} \left(\frac{\alpha}{\beta} \right)^{\frac{1}{2}} \right)^6 \geq \frac{k}{2^{12}} > 0$$



□

semicontinuità e rilassamento

Def. X metrico, $F: X \rightarrow \overline{\mathbb{R}}$ è semicontinuo inferiormente (sci)

se $\forall x_n \rightarrow x \quad F(x) \leq \liminf F(x_n)$

$F: X \rightarrow \overline{\mathbb{R}}$ è semicontinuo superiormente (scs)

se $\forall x_n \rightarrow x \quad F(x) \geq \limsup F(x_n)$

Oss F sci $\Leftrightarrow \{F \leq c\}$ chiuso

Oss F_i sci $\Rightarrow \sup F_i$ è sci

Teorema di Weierstrass

Se $E \subseteq X$ compatto, F sci, allora esiste $\min F$.

Teorema $L(u) = \int_I L(x, u, u') dx : W^{1,p} \rightarrow \mathbb{R} \cup \{-\infty\}$ con $1 \leq p < \infty$,
 L di Caratheodory e $L \geq c$ con $c \in \mathbb{R}$.

Allora L è sci per la convergenza debole se e solo se $z \mapsto L(x, y, z)$ convessa $\forall x, y$.

DIMOSTRAZIONE (traccia)

\Leftarrow Supponiamo $L=L(2)$

Osserviamo che $u_n \xrightarrow{W^{1,p}} u$, $u_n(x) \rightarrow u(x)$ e $u'_n(x) \rightarrow u'(x) \quad \forall x$.

$L(u) = \int_I \liminf L(u_n) \leq \liminf \int_I L(u_n) = \liminf L(u_n)$.

In particolare $\{L \leq M\}$ è chiuso in $W^{1,p}$

L convessa $\Rightarrow \{L \leq M\}$ convesso chiuso \Rightarrow debolmente chiuso

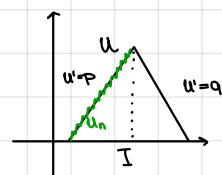
$\Rightarrow L$ sci per la convergenza debole.

\Rightarrow Supponiamo L sci ma non convessa, cioè

$$\exists p = \frac{p_1 + p_2}{2} \text{ t.c. } L(p) > \frac{L(p_1) + L(p_2)}{2}$$

$$u_n = \begin{cases} p_1 & x \in \left[\frac{2k}{n}, \frac{2k+1}{n}\right) \\ p_2 & x \in \left[\frac{2k+1}{n}, \frac{2k+2}{n}\right) \end{cases}$$

$$L(u) = L(p) + L(q) > L(u_n) = \frac{1}{2}(L(p_1) + L(p_2)) + L(q)$$



Def. X metrico, $F: X \rightarrow \overline{\mathbb{R}}$

$\bar{F}: X \rightarrow \overline{\mathbb{R}}$ t.c. $\bar{F}(x) = \inf_{x_n \rightarrow x} \liminf F(x_n)$

si dice rilassato di F .

Proposizione \bar{F} è sci e $\bar{F} = \max \{ G \leq F : G \text{ sci}\}$.

DIMOSTRAZIONE

Sia $x \in I$, e sia $x_n \rightarrow x$ t.c. $\liminf F(x_n) \leq \bar{F}(x) + \varepsilon$

Allora $\forall G \leq F$ sci, $G(x) \leq \liminf G(x_n) \leq \liminf F(x_n) \leq \bar{F}(x) + \varepsilon \Rightarrow G \leq \bar{F}$

\bar{F} è sci: $x_n \rightarrow x$, in t.c. $d(x_n, \tilde{x}_n) \leq \frac{1}{2^n}$ e $F(\tilde{x}_n) \leq \bar{F}(x_n) + \varepsilon$

$\tilde{x}_n \rightarrow x \Rightarrow \bar{F}(x) \leq \liminf F(\tilde{x}_n) \leq \liminf \bar{F}(x_n) + \varepsilon$

□

Teorema $L(u) = \int_I L(x, u, u')$, L di Caratheodory, $L \geq c$

Allora $\bar{L}(u) = \int L^{**}(x, u, u')$, dove L^{**} è il convexificato

di L in z , cioè $\forall x \forall y L^{**}(x, y, z) = \max \{ G(z) : G \text{ convessa e } G(x) \leq L(x, y, z)\}$.

Oss $L^{**} \leq L$ e $L^{**} = L \Leftrightarrow z \mapsto L(x, y, z)$ convessa

DIMOSTRAZIONE (traccia)

Sia $L = L(z)$ continua, $L \geq c$.

$\tilde{L} = \int_I L^{**}(u) \leq L$ e \tilde{L} è sci $\Rightarrow \tilde{L} \leq \bar{L}$

Data $u \in W^{1,p}$ $\exists u_n \in W^{1,p}$ t.c. $u_n \rightarrow u$ e

$L(u_n) = \int L(u_n) \rightarrow \int L^{**}(u) = \tilde{L}(u)$

$\tilde{L}(u_n) \leq \lim L(u_n) = \tilde{L}(u)$

Vediamo come si costruisce u_n :

- posso supporre u lineare a tratti
- posso supporre u lineare, $u' = p$
- $L^{**}(p) = \lambda L(p_1) + (1-\lambda)L(p_2)$

□

Esempio (Bolza) $L(u) = \int_I (1-u')^2 + u^2$

$$\bar{L}(u) = \int L^{**}(u) = \int f(u) + u^2$$

$$\text{con } f(z) = \begin{cases} (1-z^2)^2 & \text{se } |z| > 1 \\ 0 & \text{se } |z| \leq 1 \end{cases}$$

Esempio (doppio Bolza)

$$L(u) = \int_I u^2 + (1-u^2)^2 \quad L = L^{**}, \bar{L} = \bar{L}$$

FUNZIONI BV

Motivazione: Problemi geometrici

$E \subseteq \mathbb{R}^n$: $P(E)$ = misura $(n-n)$ -dimensionale di ∂E

Lo spazio degli inservizi E non è uno spazio vettoriale

$$E \longleftrightarrow \chi_E = \mathbf{1}_E$$

u_ε approssimano $\mathbf{1}_E$

$$\nabla u_\varepsilon \longrightarrow v_\varepsilon \text{ normale interna}, \quad \mathcal{V}(u_\varepsilon) = \int |\nabla u_\varepsilon| \sim P(E)$$

variazione (totale)

$$\int |\nabla u_\varepsilon| = \sup_{|\Omega| \leq 1} \int \langle \nabla u_\varepsilon(x), v \rangle dx = \sup_{|\Omega| \leq 1} \int \langle \nabla u_\varepsilon(x), q(x) \rangle dx = \sup_{|\Omega| \leq 1} \int u_\varepsilon \cdot \operatorname{div} q$$

per la unità in
 C° (norma uniforme)

norma di un operatore lineare

$$\Rightarrow P(E) = \int |D\chi_E|$$

misura (limite debole di ∇u_ε)

Se E è regolare $|D\chi_E|$ = misura di superficie su ∂E

$D\chi_E$ è una misura vettoriale concentrata su ∂E

$$D\chi_E = v_\varepsilon(\chi) \cdot H^{n-1} \delta_{\partial E}$$

Def. $\mathcal{V}(u; a, b) = \sup \left\{ \sum_{k=0}^{N-1} |u(x_{k+1}) - u(x_k)| : a \leq x_0 \leq x_1 \leq \dots \leq x_N \leq b \right\} (= l(u; a, b))$

Ma se u non è continua non è propriamente una lunghezza

Def. $BV = \{u: [a, b] \rightarrow \mathbb{R} \mid \mathcal{V}(u; a, b) < +\infty\}$ (PBV, puntuale)

Oss. Ricordiamo che $u \in AC \Rightarrow \forall \varepsilon > 0 \exists \delta > 0 \quad |x-y| < \delta \Rightarrow \mathcal{V}(u; x, y) < \varepsilon$

Esempio $u(x) = |x|$

$$\mathcal{V}(u; a, b) = |b-a|$$

Esempio $u(x) = \begin{cases} 0 & \text{se } x < 0 \\ 2 & \text{se } x = 0 \\ 1 & \text{se } x > 0 \end{cases} \quad \mathcal{V}(u; a, b) = 3 \quad \text{se } a \leq 0 \leq b$

Esempio $u(x) = \begin{cases} x \sin \frac{1}{x} & \text{se } x \neq 0 \\ 0 & \text{se } x = 0 \end{cases}$

$$\forall k \text{ t.c. } \sin \left(\frac{1}{x_k} \right) = (-1)^k$$

$$\sum |u(x_{k+1}) - u(x_k)| \geq \sum |x_{k+1} - x_k| \geq \sum \frac{1}{2k\pi + \frac{\pi}{2}} = +\infty$$

$$\Rightarrow u \in C^\circ \setminus BV$$

Oss. Se $u \in C^1$, $\sum |u(x_{k+1}) - u(x_k)| = \sum |u'(\xi_k)| (x_{k+1} - x_k) \longrightarrow \int |u'(x)| dx$

Oss. $0 \leq \mathcal{V}(u; a, b) = \mathcal{V}(u; a, c) + \mathcal{V}(u; c, b)$ se $a \leq c \leq b$ (additività)

Oss $\sum |u(x_{k+1}) - u(x_k)| \geq |\sum (u(x_{k+1}) - u(x_k))| \geq |u(b) - u(a)|$
 $\Rightarrow |u(b) - u(a)| \leq V(u; a, b)$

Quindi $u \in BV \Rightarrow |u(x_1) - u(a)| \leq V(u; a, x_1) \leq V(u; a, b) < +\infty$
 $\Rightarrow u$ limitata
 $\text{cioè } BV(a, b) \subseteq L^\infty(a, b)$

Teorema Se $u \in BV(a, b)$, allora u è differenza di due funzioni crescenti.

DIMOSTRAZIONE

Consideriamo $V(x) = V(u; a, x)$ funzione crescente:

se $x_1 < x_2 \quad V(x_1) \leq V(x_2) \quad (V(x_2) - V(x_1)) = V(u; x_1, x_2)$

$$V(x_2) - V(x_1) \geq |u(x_2) - u(x_1)| \geq \begin{cases} u(x_2) - u(x_1) \\ u(x_1) - u(x_2) \end{cases}$$

$$(V(x_2) - V(x_1)) - (V(x_1) - V(x_0)) = (V(x_2) - V(x_0)) - (u(x_2) - u(x_0)) \geq 0$$

$$(V(x_2) + u(x_2)) - (V(x_1) + u(x_1)) = (V(x_2) - V(x_1)) - (u(x_1) - u(x_2)) \geq 0$$

$\Rightarrow V - u$ e $V + u$ sono crescenti

Quindi $u = \frac{1}{2}((V+u) - (V-u))$

□

Oss $u: [a, b] \rightarrow \mathbb{R}$ crescente,

allora $\#\{x \in [a, b] \mid u \text{ non è continua in } x\} \leq \aleph_0$

corollario $u \in BV$ allora u ha una quantità numerabile di discontinuità, e sono discontinuità a salto.

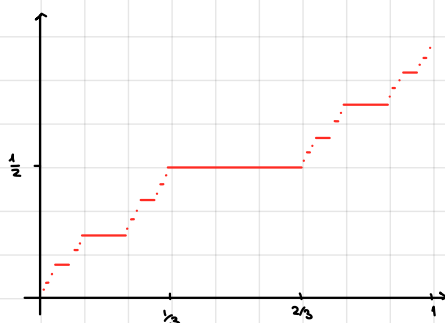
ESEMPIO (Cantor-Vitali)

u crescente, continua, $u(0) = 0, u(1) = 1$

$$V(u; 0, 1) = u(1) - u(0) = 1$$

ma è derivabile q.o. con $u' = 0$,

non ha salti: $\int |u'| = 0$



u avrà una derivata puntuale u' ,

delle δ di Dirac sui salti $D_u u$, e qualcosa' altro $D_u u$ (parte cantoriana) con $D_u u, D_u u$ misure

corollario Data $u \in BV$, poniamo $\tilde{u}(x) := \begin{cases} u(x^-) & \text{se } x > a \\ u(x^+) & \text{se } x = a \end{cases}$.

Allora \tilde{u} è continua a sinistra e $\tilde{u}(x) = u(x) \forall x$
 $V(\tilde{u})$ è definita q.o.

Def. Una misura di Borel μ a valori in \mathbb{R} è una funzione σ -additiva definita sui bordiani.

Esempio (1) La misura di Lebesgue su (a,b)

(2) δ_x delta di Dirac

(3) C insieme di Cantor: $C = \frac{C}{3} \cup (\frac{C}{3} + \frac{2}{3})$

C ha "dimensione" frazionaria s : $H^s(\lambda C) = \lambda^s H^s(C)$

$$\text{quindi } H^s(C) = \frac{H^s(C)}{3^s} + \frac{H^s(C)}{3^s} \Rightarrow s = \log_3 2$$

$$\mu(A) = H^s(C \cap A)$$

(4) μ_1, μ_2 misure finite positive, allora $\mu = \mu_1 - \mu_2$ è una misura con segno.

Denotiamo con $M(a,b)$ l'insieme delle misure di Borel $\mu: B(a,b) \rightarrow \mathbb{R}$.

$M(a,b)$ è uno spazio vettoriale;

diventà uno spazio di Banach se scelgo come norma la variazione totale.

Def. La variazione $(\mu \in M(X))$ è una misura definita come

$$|\mu|(A) = \sup \left\{ \sum_k |\mu(A_k)| \text{ con } A_k \text{ disgiunti, } A_k \subseteq A \right\}$$

La variazione totale di μ è

$$\|\mu\|_\mu = |\mu|(X)$$

$M(a,b)$ è lo spazio duale di $C_0([a,b])$

Ogni $L: C_0([a,b]) \rightarrow \mathbb{R}$ lineare continuo si scrive nella forma $L_\mu(\varphi) = \int_a^b \varphi d\mu$ con $\mu \in M(a,b)$

$$\|\mu\|_\mu = \sup_{\|\varphi\|_{C_0} \leq 1} |L_\mu(\varphi)| = \sup \left\{ \int_a^b \varphi d\mu : \varphi \in C_0([a,b]), |\varphi| \leq 1 \right\}$$

Se $M(a,b)$ c'è quindi una topologia debole *

$$\mu_n \xrightarrow{*} \mu \text{ se } L_{\mu_n}(\varphi) \rightarrow L_\mu(\varphi) \quad \forall \varphi \in C_0([a,b])$$

$$\text{cioè } \int_a^b \varphi d\mu_n \rightarrow \int_a^b \varphi d\mu \quad \forall \varphi \in C_0([a,b])$$

Teorema di Banach-Alaoglu

Se μ_k è limitata in $M(a,b)$, allora

$\exists \mu \in M(a,b)$ e $\exists k_j$ t.c. $\mu_{k_j} \xrightarrow{*} \mu$.

Inoltre $\|\mu\|_\mu \leq \liminf \|\mu_k\|_\mu$.

Esempio $\mu_k = \delta_{\frac{1}{k}}$ $\mu_k \xrightarrow{*} \delta_0$

$$\text{infatti } \int \varphi d\mu_k = \varphi\left(\frac{1}{k}\right) \rightarrow \varphi(0) = \int \varphi d\delta_0$$

ma $\|\delta_{\frac{1}{k}} - \delta_0\| = 2$, quindi μ_k non converge forte.

Def. Siano $\mu, \nu \in M(a, b)$, $\nu > 0$.

μ è assolutamente continua rispetto a ν , $\mu \ll \nu$, se

$$\nu(A) = 0 \implies |\mu(A)| = 0$$

μ è singolare rispetto a ν se esiste $B \in \mathcal{B}(X)$ tale che

$$\nu(B) = 0 \quad e \quad |\mu(X \setminus B)| = 0$$

Se $u \in L^1_\nu(X)$, uv è la misura:

$$uv(B) = \int_B u d\nu$$

Vale sempre $uv \ll \nu$

Teorema (i) Data $\mu \in M(a, b)$, posto $U(x) = \mu((a, x)) = \int_a^x d\mu$, si ha $U \in BV(a, b)$, $U(a) = U(a^+) = 0$, $U(x) = U(x^-) \forall x \in (a, b)$ e $|U(u; a, x)| = |U(u; a, x^-)| \leq |\mu|((a, x))$.

(ii) Viceversa, se $U \in BV(a, b)$, $\exists! \mu \in M(a, b)$ tale che $U(x) = U(a^+) + \mu((a, x))$ e inoltre $|U(u; a, x^-)| = |\mu|((a, x))$.

DIMOSTRAZIONE

(i) Passo 1 Supponiamo $\mu \geq 0$. Posto $U(x) = \mu((a, x))$, si ha

$$U(a) = U(a^+) \quad e \quad U(x) = U(x^-) \quad \forall x \in (a, b]$$

$$\mu \geq 0 \implies U \text{ decrescente} \implies U(U; a, x) = U(x)$$

$$U(U; a, b) = U(b) = \mu((a, b)) < \infty \implies U \in BV(a, b).$$

Passo 2 data $\mu \in M(a, b)$ qualunque, $\mu = \mu^+ - \mu^-$, $|\mu| = \mu^+ + \mu^-$ con $\mu^+, \mu^- \geq 0$.

$$\text{Quindi posto } U(x) = \mu((a, x)) = \mu^+((a, x)) - \mu^-((a, x)) = U^+(x) - U^-(x)$$

$$U^+, U^- \in BV \text{ crescenti} \implies U \in BV$$

$$U^\pm(a) = U^\pm(a^+) = 0, U^\pm(x) = U^\pm(x^-) \implies U(a) = U(a^+) = 0, U(x) = U(x^-)$$

Vogliamo mostrare che $|U(u; a, x)| \leq |\mu|(a, x)$.

$$\begin{aligned} \sum |U(x_{k+1}) - U(x_k)| &= \sum |\mu(a, x_{k+1}) - \mu(a, x_k)| = \sum |\mu((x_k, x_{k+1}))| \leq \\ &\leq \sum |\mu((x_k, x_{k+1}))| = |\mu|(\bigcup_{k=0}^n (x_k, x_{k+1})) = |\mu|(a, x). \end{aligned}$$

(ii) Sia $U \in BV(a, b)$

Passo 1 supponiamo $U(a) = U(a^+) = 0$, $U(x) = U(x^-) \neq U$ crescente.

Per $A \in \mathcal{B}(a, b)$, definiamo $M(A) = \{y \in \mathbb{R} : \exists x \in A, y \in [U(x^+), U(x^-)]\} : M \geq 0$.

$$\text{Allora } \mu((a, x)) = U(x^-) - U(a^+) = U(x) \quad (\text{U crescente})$$

$$U(U; a, x) = U(U; a, x^-) = U(x) = \mu((a, x)) \underset{\lambda \geq 0}{=} |\mu|(a, x).$$

Passo 2 supponiamo solo $U(a) = U(a^+) = 0$, $U(x) = U(x^-)$ con $U \in BV(a, b)$.

Sappiamo che $U = U_1 - U_2$, con U_1, U_2 crescenti, $U_{1,2}(a) = U_{1,2}(a^+)$, $U_{1,2}(x) = U_{1,2}(x^-)$

$$\text{e } U(U; a, x) = U_1(x) + U_2(x).$$

Per il passo 1, esistono $\mu_1, \mu_2 \geq 0$ tali che $U_{1,2}(x) = \mu_{1,2}(a, x)$

$$U(x) = U_1(x) - U_2(x) = \mu_1(a, x) - \mu_2(a, x) = \mu(a, x)$$

$$\mu := \mu_1 + \mu_2$$

$$U(x) = U(U; a, x) = U_1(x) + U_2(x) = \mu_1(a, x) + \mu_2(a, x) = \lambda(a, x)$$

Dunque $|\mu(E)| \leq \lambda(E) \quad \forall E \in \mathcal{B}(a, b) \implies |\mu| \leq \lambda$

Ma per (i), $|\mu|(a,x) \geq U(u; a, x) = \lambda(a, x)$
 $\Rightarrow |\mu|([a, b]) \geq \lambda([a, b]) \quad \forall a, b \in (a, b) \Rightarrow |\mu| \geq \lambda$
 $\Rightarrow |\mu| = \lambda \text{ con } \mu_1 = \mu^+ \in \mu_2 = \mu^-$
Quindi $u(x) = \mu(a, x)$, $U(u; a, x) = |\mu|(a, x)$.

PASSO 3 Sia $u \in BV(a, b)$ qualsiasi.

$$\text{Pongo } \tilde{u}(x) = \begin{cases} 0 & \text{se } x=a \\ u(x) - u(a) & \text{se } x \in (a, b) \end{cases}$$

il soddisfa le ipotesi del passo 2.

Sia misura μ di \tilde{u} va bene anche per u .

UNICITA' se $u(x) = \mu(a, x) = \lambda(a, x)$, allora μ e λ coincidono sugli intervalli $\Rightarrow \mu = \lambda$. □

DEF. $BV(a, b) = BV(a, b)/\sim$

dove $u \sim v$ se $u(x) = v(x) \quad \forall x \in (a, b)$, ovvero $\begin{cases} u(a^+) = v(a^+) \\ u(x^-) = v(x^-) \quad \forall x \in (a, b) \end{cases}$

$U(u; a, b)$ è ben definito su BV se ignora il valore di u nei punti di discontinuità.

$BV(a, b) \subseteq L^\infty(a, b)$ perché $u \in BV$ è limitata.

OSS $u \in BV \Leftrightarrow \exists \mu \in M(a, b) \text{ t.c. } u(x) = u(a^+) + \mu(a, x)$

$$\text{Inoltre } U(u; a^+, x) = |\mu|(a, x)$$

Dunque u è continua in $x_0 \Leftrightarrow |\mu|(x_0) = 0$

$$\text{poiché } |u(x_0^+) - u(x_0^-)| = |\mu|(x_0)$$

Ricordando che $u \in W^{1,1} \Leftrightarrow \exists v \in L^1 \text{ t.c. } u(x) = \int_a^x v$

$AC(a, b) \cong W^{1,1}(a, b) \subseteq BV(a, b)$, $u \in W^{1,1} \Rightarrow u$ continua

Inoltre μ rappresenta la "derivata distribuzionale" di $u \in BV$, $u(x) = \mu(a, x)$.

$$\forall \varphi \in C_c^\infty(a, b) \quad \int_a^b u \varphi' = \int_a^b \mu(a, x) \varphi'(x) dx = \int_a^b \int_{[a, x]} d\mu(y) \varphi'(x) dx = \\ = \int_a^b \int_y^b \varphi'(x) dx d\mu(y) = - \int_a^b \varphi(y) d\mu(y)$$

$\mu := Du$ e $u \in M(a, b)$ è la derivata distribuzionale di u .

$$BV(a,b) = \{u \in L^1(a,b) : u' \in M(a,b)\} / \sim, \text{ con } u \sim v \text{ se } u(x) = v(x) \forall x$$

Norma su BV:

$$\|u\|_{BV} = \|u\|_{L^1} + \|u'\|_M$$

variazione totale

Oss $W'' \subseteq BN$: $u' \in L^1$, cioè è assolutamente continua rispetto a L

$$\|u'\|_{W''} = \|u\|_{BV}$$

Oss (Radon-Nikodym) $u \in BV \Rightarrow u' = f dx + D^c u$, $f \in L^1(a,b)$

con $D^c u \perp L$, cioè $\exists E \subseteq (a,b)$, $|E|=0$ t.c. $(D^c u)((a,b) \setminus E)=0$

$D^c u$ parte singolare di u' :

$$D^c u = \sum_{x_j} \delta_{x_j} + D^a u \quad \text{con } D^a u(x) = 0 \quad \forall x$$

parte di salto parte cantoriana

proposizione BV è uno spazio di Banach.

DIMOSTRAZIONE

Sia $\{u_n\} \subseteq BV$ di Cauchy.

Allora $u_n \rightarrow u$ in L^1 e $u'_n \rightarrow \mu$ in M .

$$\forall Q \in C_c(a,b) : \int_a^b u'_n Q = \lim_n \int_a^b u_n Q = - \lim_n \int_a^b Q d u'_n = - \int_a^b Q d \mu$$

Quindi $u' = \mu$ e $u_n \rightarrow u$ in BV . \square

Def. $u_n \rightarrow u$ in BV se $u_n \rightarrow u$ in L^1 e $u'_n \xrightarrow{*} u'$ in M

Oss $u_n \xrightarrow{BV} u \iff u_n \rightarrow u$ in L^1 e $\|u'_n\|_M \leq C$ e $\|u'\|_M \leq \liminf \|u'_n\|_M$

Oss $u \in BV \Rightarrow |u(x^+) - u(y^-)| \leq \int_x^y |u'| \leq \|u'\|_M \Rightarrow \|u\|_\infty \leq |\int_a^b u| + \|u'\|_M$

teorema Siano $u_n \in BV$, $\|u_n\|_{BV} \leq C$

Allora $\exists u \in BV$ t.c. $u_n \xrightarrow{BV} u$.

DIMOSTRAZIONE

$$\|u_n\|_M \leq C \Rightarrow \exists \mu \in M \text{ e } \nu_k \text{ t.c. } u'_n \xrightarrow{*} \mu \text{ in } M.$$

Sia $x_0 \in (a,b)$ t.c. $u'_n(x_0) = 0$ e $\mu(x_0) = 0 \quad \forall n$

$$u_n(x) = \begin{cases} u_n(x_0) + \int_{x_0}^x d u'_n & \tilde{x} > x_0 \\ u_n(x_0) - \int_{x_0}^x d u'_n & \tilde{x} < x_0 \end{cases}$$

$\|u_n(x_0)\| \leq C' \Rightarrow$ posso supporre $u_{n_k}(x_0) \xrightarrow{*} c$

$$u(x) = \begin{cases} c + \int_{x_0}^x d \mu & x > x_0 \\ c - \int_{x_0}^x d \mu & x < x_0 \end{cases}$$

$u \in BV$ con $u' = \mu$, $u_{n_k}(x) \rightarrow u(x) \quad \forall x \Rightarrow u_{n_k} \rightarrow u$ in $L^1 \Rightarrow u_{n_k} \xrightarrow{BV} u$ \square

ESISTENZA in BV

$L(x, z) : (a, b) \times \mathbb{R}^n \rightarrow \mathbb{R}$ s.c., $z \mapsto L(x, z)$ convessa $\forall x$

$$L^\infty(x, z) = \lim_{t \rightarrow +\infty} \frac{L(x, z_0 + tz)}{t} : (a, b) \times \mathbb{R}^n \rightarrow \mathbb{R} \cup \{+\infty\} \quad (\text{funzione recessione})$$

Oss $L^\infty(x, z)$ non dipende da z_0 ,

$z \mapsto L^\infty(x, z)$ convessa e positivamente 1-omogenea: $L^\infty(x, tz) = tL^\infty(x, z)$ per $t > 0$.

Esempio $L(z) = \sqrt{1+z^2}$, $L^\infty(z) = \lim_{t \rightarrow +\infty} \frac{\sqrt{1+t^2 z^2}}{t} = |z|$

Teorema $L(x, z)$ s.c., $z \mapsto L(x, z)$ convessa $\forall x$ (semicontinuità)

$L(x, z) \geq \alpha|z|$, con $\alpha > 0$, $\forall x$ (coercività)

Allora \exists minimo in BV di $\mathcal{L}(u) = \int_a^b L(x, f) dx + \int_a^b L^\infty(x, g) d|D^s u|$,

dove $u' = f dx + D^s u$, $D^s u = g |D^s u|$,

$g \in L^1(a, b)$, $|D^s u| \leq 1$, $|g| = 1$ ($|D^s u| = g < 0$)